

Utjecaj protoka na kompetitivno vezanje kadmija i cinka iz binarne vodene otopine na prirodnom zeolitu postupkom u koloni

Šušnjara, Matea

Undergraduate thesis / Završni rad

2018

*Degree Grantor / Ustanova koja je dodijelila akademski / stručni stupanj: **University of Split, Faculty of Chemistry and Technology / Sveučilište u Splitu, Kemijsko-tehnološki fakultet***

Permanent link / Trajna poveznica: <https://urn.nsk.hr/um:nbn:hr:167:187186>

Rights / Prava: [In copyright/Zaštićeno autorskim pravom.](#)

*Download date / Datum preuzimanja: **2024-04-20***

Repository / Repozitorij:

[Repository of the Faculty of chemistry and technology - University of Split](#)



**SVEUČILIŠTE U SPLITU
KEMIJSKO-TEHNOLOŠKI FAKULTET**

**UTJECAJ PROTOKA NA KOMPETITIVNO VEZANJE KADMIJA
I CINKA IZ BINARNE VODENE OTOPINE NA PRIRODNOM
ZEOLITU POSTUPKOM U KOLONI**

ZAVRŠNI RAD

MATEA ŠUŠNJARA

Matični broj: 1258

Split, listopad 2018.

**SVEUČILIŠTE U SPLITU
KEMIJSKO-TEHNOLOŠKI FAKULTET
PREDDIPLOMSKI STUDIJ KEMIJSKE TEHNOLOGIJE
KEMIJSKO INŽENJERSTVO**

**UTJECAJ PROTOKA NA KOMPETITIVNO VEZANJE KADMIJA
I CINKA IZ BINARNE VODENE OTOPINE NA PRIRODNOM
ZEOLITU POSTUPKOM U KOLONI**

ZAVRŠNI RAD

MATEA ŠUŠNJARA

Matični broj: 1258

Split, listopad 2018.

**UNIVERSITY OF SPLIT
FACULTY OF CHEMISTRY AND TECHNOLOGY
UNDERGRADUATE STUDY OF CHEMICAL TECHNOLOGY
CHEMICAL ENGINEERING**

**INFLUENCE OF FLOW RATE ON COMPETITIVE BINDING OF
CADMIUM AND ZINC FROM BINARY AQUEOUS SOLUTION ON
NATURAL ZEOLITE BY COLUMN PROCESS**

BACHELOR THESIS

MATEA ŠUŠNJARA

Parent number: 1258

Split, October 2018

TEMELJNA DOKUMENTACIJSKA KARTICA

ZAVRŠNI RAD

Sveučilište u Splitu

Kemijsko-tehnološki fakultet u Splitu

Preddiplomski studij kemijske tehnologije, smjer Kemijsko inženjerstvo

Znanstveno područje: Tehničke znanosti

Znanstveno polje: Kemijsko inženjerstvo

Tema rada je prihvaćena na 3. sjednici Fakultetskog vijeća Kemijsko-tehnološkog fakulteta

Mentor: Doc. dr. sc. Ivona Nuić

UTJECAJ PROTOKA NA KOMPETITIVNO VEZANJE KADMIJA I CINKA IZ BINARNE VODENE OTOPINE NA PRIRODNOM ZEOLITU POSTUPKOM U KOLONI

Matea Šušnjara, matični broj: 1258

Sažetak: Proведен je proces kompetitivnog vezanja Cd i Zn iz ekvimolarne binarne vodene otopine ukupne početne koncentracije $c_0(\text{Cd}+\text{Zn}) \approx 1 \text{ mmol/L}$. Proces se provodio u staklenoj koloni napunjenoj nepomičnim slojem prirodnog zeolita visine 8 cm pri protocima otopine od 1, 2, 3 i 4 mL/min. Tijek radnog ciklusa pratio se određivanjem koncentracije Cd i Zn te pH vrijednosti u efluentu. Rezultati su prikazani krivuljama proboja za svaki ion iz kojih su određene točke proboja i točke iscrpljenja. Porastom protoka točka proboja pojavila se ranije te je obrađen približno isti volumen otopine za znatno kraće vrijeme. Cd i Zn se do točke proboja vežu istovremeno za sva četiri ispitana protoka. Nakon točke proboja koncentracija oba iona u efluentu naglo raste, ali je koncentracija Cd manja od koncentracije Zn. Također, koncentracija Cd u efluentu ne prelazi vrijednost koncentracije u influentu, dok Zn premašuje svoju početnu koncentraciju, i to samo pri najmanjem protoku od 1 mL/min. Razlog tome je istiskivanje i zamjena već vezanih iona Zn iz strukture zeolita ionima Cd iz početne otopine, što može biti posljedica veće selektivnosti zeolita klinoptilolita prema Cd i većeg afiniteta Cd prema zeolitu. Pri višim protocima, zbog bržeg prolaska otopine kroz sloj, efekt istiskivanja je manje izražen zbog kraćeg vremena kontakta, a time i slabije difuzije Cd i Zn iz otopine u česticu zeolita. Omjeri kapaciteta u točki proboja za Cd i Zn jednaki su Cd/Zn omjeru u influentu, što potvrđuje istovremeno vezanje Cd i Zn do točke proboja, proporcionalno njihovoj koncentraciji u ulaznoj otopini. Omjeri kapaciteta u točki iscrpljenja veći su od Cd/Zn omjera u influentu što potvrđuje efekt istiskivanja Zn iona Cd ionima. Zbog smanjenog vremena kontakta porastom protoka smanjuje se efikasnost kolone η . Dobiveni rezultati pokazali su veći afinitet Cd prema zeolitu u odnosu na Zn, kao i veću selektivnost zeolita prema Cd, a time i bolje vezanje Cd pri svim ispitanim protocima. Ovo nije bilo očekivano budući da Cd i Zn ioni imaju vrlo slična fizikalno-kemijska svojstva te su ovi rezultati vrlo značajni za predviđanje ponašanja zeolita i njegovu praktičnu uporabu u procesima obrade otpadnih voda.

Ključne riječi: kadmij, cink, binarna otopina, nepomični sloj zeolita, kompeticija, selektivnost, afinitet

Rad sadrži: 43 stranice, 19 slika, 8 tablica, 29 referenci

Jezik izvornika: hrvatski

Sastav Povjerenstva za obranu:

1. Prof. dr. sc. Marina Trgo - predsjednik
2. Doc. dr. sc. Ivana Smoljko - član
3. Doc. dr. sc. Ivona Nuić - mentor

Datum obrane: 1. listopada 2018.

Rad je u tiskanom i električnom (pdf format) obliku pohranjen u knjižnici Kemijsko-tehnološkog fakulteta u Splitu, Ruđera Boškovića 35

BASIC DOCUMENTATION CARD

BACHELOR THESIS

University of Split

Faculty of Chemistry and Technology in Split

Undergraduate study of chemical technology, Chemical engineering

Scientific area: Technical sciences

Scientific field: Chemical engineering

Thesis subject was approved by Faculty Council of Faculty of Chemistry and Technology, session no. 3

Mentor: Ph. D. Ivona Nuić, Assistant professor

**INFLUENCE OF FLOW RATE ON COMPETITIVE BINDING OF CADMIUM AND ZINC
FROM BINARY AQUEOUS SOLUTION ON NATURAL ZEOLITE BY COLUMN PROCESS**

Matea Šušnjara, parent number: 1258

Abstract: The competitive binding of Cd and Zn from equimolar binary aqueous solution of total initial concentration of $c_0(\text{Cd}+\text{Zn}) \approx 1 \text{ mmol/L}$ is performed. The process is carried out in a glass column filled with fixed bed of natural zeolite of height 8 cm at the solution flow rates of 1, 2, 3 and 4 mL/min. The service cycle is monitored by determining the concentration of Cd and Zn and pH values in the effluent. The results are shown by breakthrough curves for each ion from which the breakthrough and exhaustion points are determined. By increasing in flow rate, the breakthrough appeared earlier, and approximately equal volume of solution is treated for significantly shorter time. Cd and Zn bind simultaneously until the breakthrough, for all examined flow rates. After the breakthrough, the concentration of both ions in the effluent suddenly increased, but the Cd concentration is lower than the Zn concentration. Also, the concentration of Cd in the effluent does not exceed the influent concentration, while Zn overshoots its influent concentration, but only for the lowest flow rate of 1 mL/min. The reason for this is the displacement of already bound Zn from the zeolite structure by Cd from the inlet solution due to greater selectivity of the zeolite clinoptilolite towards Cd and higher affinity of Cd toward zeolite. At higher flow rates, due to the faster solution flow through the layer, the displacement effect is less pronounced due to the shorter contact time and lower diffusion of Cd and Zn from the solution into the zeolite particle. The ratio of capacities for Cd and Zn in breakthrough equals to the Cd/Zn ratio in the influent, which confirms the simultaneous binding of Cd and Zn to the breakthrough, proportionally to their concentration in the inlet solution. The ratio of capacities in exhaustion is greater than the Cd/Zn ratio in the influent, confirming the displacement effect of Zn by Cd. At reduced contact time with increased flow rate the column efficiency η decreases. The obtained results showed higher affinity of Cd for zeolite than Zn, as well as greater selectivity of zeolite toward Cd, and thus better binding of Cd for all examined flow rates. This was not expected since Cd and Zn ions have very similar physical-chemical properties, which makes these results as very important for predicting of zeolite behaviour and its practical application in water treatment processes.

Keywords: cadmium, zinc, binary solution, fixed zeolite bed, competition, selectivity, affinity

Thesis contains: 43 pages, 19 figures, 8 tables, 29 references

Original in: Croatian

Defence committee:

1. Ph. D. Marina Trgo, Full professor – chair person
2. Ph. D. Ivana Smoljko, Assistant professor – member
3. Ph. D. Ivona Nuić, Assistant professor – supervisor, member

Defence date: October 1st 2018

Printed and electronic (pdf format) version of thesis is deposited in library of Faculty of Chemistry and Technology in Split, Ruđera Boškovića 35.

Završni rad izrađen je u Zavodu za inženjerstvo okoliša Kemijsko-tehnološkog fakulteta u Splitu pod mentorstvom doc. Dr. sc. Ivone Nuić u razdoblju od veljače 2018. do listopada 2018. godine.

Izvedba rada financirana je sredstvima projekta HRZZ - NAZELLT IP-11-2013-4981 (2014.-2018.).

Zahvaljujem mentorici doc. Dr. sc. Ivoni Nuić, prvenstveno na strpljenju i susretljivosti te na trudu uloženom pri izradi i pisanju ovog Završnog rada.

Veliko hvala mojoj obitelji na strpljenju, razumijevanju i bezuvjetnoj podršci tijekom školovanja.

Također zahvaljujem svojim priateljima i kolegama koji su uvijek vjerovali u mene zanjući da će ih učiniti ponosnima i sretnima.

ZADATAK ZAVRŠNOG RADA

1. Ispitati kompetitivno vezanje Cd i Zn iona iz ekvimolarne binarne vodene otopine na nepomičnom sloju prirodnog zeolita klinoptilolita visine $H = 8$ cm, pri protocima otopine $Q = 1, 2, 3$ i 4 mL/min.
2. Odrediti koncentraciju Cd i Zn iona te pH vrijednost u efluentima radnih ciklusa i na temelju dobivenih rezultata nacrtati krivulje probaja za svaki ion, odrediti točke probaja i točke iscrpljenja, izračunati odgovarajuće kapacitete te efikasnost kolone.
3. Na temelju dobivenih rezultata izvesti zaključke o ponašanju Cd i Zn iona pri kompetitivnom vezanju na zeolitu iz binarne otopine, o selektivnosti zeolita kao i o afinitetima iona prema zeolitu.

SAŽETAK

Proведен je proces kompetitivnog vezanja Cd i Zn iz ekvimolarne binarne vodene otopine ukupne početne koncentracije $c_0(\text{Cd}+\text{Zn}) \approx 1 \text{ mmol/L}$. Proces se provodio u staklenoj koloni napunjenoj nepomičnim slojem prirodnog zeolita visine 8 cm pri protocima otopine od 1, 2, 3 i 4 mL/min. Tijek radnog ciklusa pratio se određivanjem koncentracije Cd i Zn te pH vrijednosti u efluentu. Rezultati su prikazani krivuljama proboga za svaki ion iz kojih su određene točke proboga i točke iscrpljenja. Porastom protoka točka proboga pojavila se ranije te je obrađen približno isti volumen otopine za znatno kraće vrijeme. Cd i Zn se do točke proboga vežu istovremeno za sva četiri ispitana protoka. Nakon točke proboga koncentracija oba iona u efluentu naglo raste, ali je koncentracija Cd manja od koncentracije Zn. Također, koncentracija Cd u efluentu ne prelazi vrijednost koncentracije u influentu, dok Zn premašuje svoju početnu koncentraciju, i to samo pri najmanjem protoku od 1 mL/min. Razlog tome je istiskivanje i zamjena već vezanih iona Zn iz strukture zeolita ionima Cd iz početne otopine, što može biti posljedica veće selektivnosti zeolita klinoptilolita prema Cd i većeg afiniteta Cd prema zeolitu. Pri višim protocima, zbog bržeg prolaska otopine kroz sloj, efekt istiskivanja je manje izražen zbog kraćeg vremena kontakta, a time i slabije difuzije Cd i Zn iz otopine u česticu zeolita. Omjeri kapaciteta u točki proboga za Cd i Zn jednaki su Cd/Zn omjeru u influentu, što potvrđuje istovremeno vezanje Cd i Zn do točke proboga, proporcionalno njihovoj koncentraciji u ulaznoj otopini. Omjeri kapaciteta u točki iscrpljenja veći su od Cd/Zn omjera u influentu što potvrđuje efekt istiskivanja Zn iona Cd ionima. Zbog smanjenog vremena kontakta porastom protoka smanjuje se efikasnost kolone η . Dobiveni rezultati pokazali su veći afinitet Cd prema zeolitu u odnosu na Zn, kao i veću selektivnost zeolita prema Cd, a time i bolje vezanje Cd pri svim ispitanim protocima. Ovo nije bilo očekivano budući da Cd i Zn ioni imaju vrlo slična fizikalno-kemijska svojstva te su ovi rezultati vrlo značajni za predviđanje ponašanja zeolita i njegovu praktičnu uporabu u procesima obrade otpadnih voda.

Ključne riječi: kadmij, cink, binarna otopina, nepomični sloj zeolita, kompeticija, selektivnost, afinitet

SUMMARY

The competitive binding of Cd and Zn from equimolar binary aqueous solution of total initial concentration of $c_0(\text{Cd}+\text{Zn}) \approx 1 \text{ mmol/L}$ is performed. The process is carried out in a glass column filled with fixed bed of natural zeolite of height 8 cm at the solution flow rates of 1, 2, 3 and 4 mL/min. The service cycle is monitored by determining the concentration of Cd and Zn and pH values in the effluent. The results are shown by breakthrough curves for each ion from which the breakthrough and exhaustion points are determined. By increasing in flow rate, the breakthrough appeared earlier, and approximately equal volume of solution is treated for significantly shorter time. Cd and Zn bind simultaneously until the breakthrough, for all examined flow rates. After the breakthrough, the concentration of both ions in the effluent suddenly increased, but the Cd concentration is lower than the Zn concentration. Also, the concentration of Cd in the effluent does not exceed the influent concentration, while Zn overshoots its influent concentration, but only for the lowest flow rate of 1 mL/min. The reason for this is the displacement of already bound Zn from the zeolite structure by Cd from the inlet solution due to greater selectivity of the zeolite clinoptilolite towards Cd and higher affinity of Cd toward zeolite. At higher flow rates, due to the faster solution flow through the layer, the displacement effect is less pronounced due to the shorter contact time and lower diffusion of Cd and Zn from the solution into the zeolite particle. The ratio of capacities for Cd and Zn in breakthrough equals to the Cd/Zn ratio in the influent, which confirms the simultaneous binding of Cd and Zn to the breakthrough, proportionally to their concentration in the inlet solution. The ratio of capacities in exhaustion is greater than the Cd/Zn ratio in the influent, confirming the displacement effect of Zn by Cd. At reduced contact time with increased flow rate the column efficiency η decreases. The obtained results showed higher affinity of Cd for zeolite than Zn, as well as greater selectivity of zeolite toward Cd, and thus better binding of Cd for all examined flow rates. This was not expected since Cd and Zn ions have very similar physical-chemical properties, which makes these results as very important for predicting of zeolite behaviour and its practical application in water treatment processes.

Keywords: cadmium, zinc, binary solution, fixed zeolite bed, competition, selectivity, affinity

SADRŽAJ

UVOD	1
1. OPĆI DIO	3
1.1. TEŠKI METALI U OKOLIŠU	4
1.1.1. Kadmij	6
1.1.2. Cink	8
1.2. UKLANJANJE TEŠKIH METALA IZ OTPADNIH VODA	9
1.3. ZEOLITI	10
1.3.1. Prijeklo zeolita	11
1.3.2. Struktura zeolita	11
1.3.3. Primjena zeolita	14
1.3.3.1. Uklanjanje teških metala iz otpadnih voda primjenom zeolita	14
1.4. POSTUPAK U KOLONI	15
2. EKSPERIMENTALNI DIO I REZULTATI	19
2.1. PRIPRAVA UZORKA ZEOLITA	20
2.2. PRIPRAVA BINARNE VODENE OTOPINE KADMIJA I CINKA	20
2.3. ODREĐIVANJE POJEDINAČNIH KONCENTRACIJA KADMIJA I CINKA	21
2.4. ODREĐIVANJE pH VRIJEDNOSTI	22
2.5. IZVEDBA POSTUPKA U KOLONI	23
3. RASPRAVA	31
3.1. ANALIZA REZULTATA VEZANJA KADMIJA I CINKA IZ BINARNE OTOPINE NA PRIRODNOM ZEOLITU U KOLONI	32
4. ZAKLJUČAK	36
5. LITERATURA	39

UVOD

Onečišćenje okoliša (zrak, tlo, voda) teškim metalima iz antropogenih izvora jedan je od najvećih problema današnjice. Stručnjaci upozoravaju da bi se svijet mogao suočiti s katastrofom nesagledivih razmjera nastavi li se ovom dinamikom onečišćivati okoliš¹. Najčešća onečišćivala su anorgnanske tvari (teški metali), organske tvari (pesticidi, aromatski ugljikovodici), radioaktivni izotopi, plinovi (O_3 , CO, CO_2 , SO_2 , freoni, NO_x itd.) te organometalni spojevi. Razvoj industrije i poljoprivrede, urbanizacija te porast broja stanovništva značajno pridonose pogoršanju zdravstvenih i drugih uvjeta života. U svrhu očuvanja okoliša zakonske odredbe za ispušt obeđenih industrijskih otpadnih voda propisuju sve niže granične dopuštene koncentracije².

Da bi se u otpadnim vodama koncentracija teških metala smanjila do ispod maksimalno dopuštene, nakon nekog klasičnog stupnja obrade nužno je primijeniti napredne procese obrade kao što je ionska izmjena. U svrhu smanjenja njene cijene nužno je pronaći *low-cost* ionske izmjenjivače koji će biti ekonomski prihvatljiviji, a učinkoviti. Prirodni zeoliti su zbog svojih izvrsnih fizikalno-kemijskih svojstava, visokog kapaciteta ionske izmjene, velikih depozita u prirodi te ekološke prihvatljivosti vrlo učinkoviti ionski izmjenjivači u obradi otpadnih voda onečišćenima teškim metalima. Postupak u koloni zbog kontinuirane je izvedbe pogodan za obradu veće količine otpadne vode. Budući da otpadne vode najčešće sadrže više teških metala, nužna su istraživanja njihova uklanjanja iz višekomponentnih otopina, što je vrlo složeno jer se javlja kompeticija između iona. Naime, različiti ioni imaju različiti afinitet prema zeolitu i zeolit različitu selektivnost prema ionima³.

Cilj ovog rada bio je ispitati učinkovitost uklanjanja teških metala kadmija (Cd) i cinka (Zn), iz binarne otopine postupkom u koloni napunjenoj prirodnim zeolitom. Eksperimentalni rezultati prikazani su krivuljama proboga za svaki ion te se iz dobivenih krivulja odredila točka proboga i iscrpljenja te su izračunati kapaciteti u točki proboga i iscrpljenja. Ovim radom dobio se uvid u ponašanje pojedinog iona pri vezanju iz binarne otopine, selektivnost zeolita prema Cd i Zn ionima te afinitet Cd i Zn iona prema zeolitu. Dobiveni rezultati bi trebali biti od velikog značaja u predviđanju ponašanja pojedinih iona pri vezanju iz višekomponentnih otopina pri praktičnoj primjeni zeolita kao prirodnog izmjenjivača u procesima obrade otpadnih voda.

1. OPĆI DIO

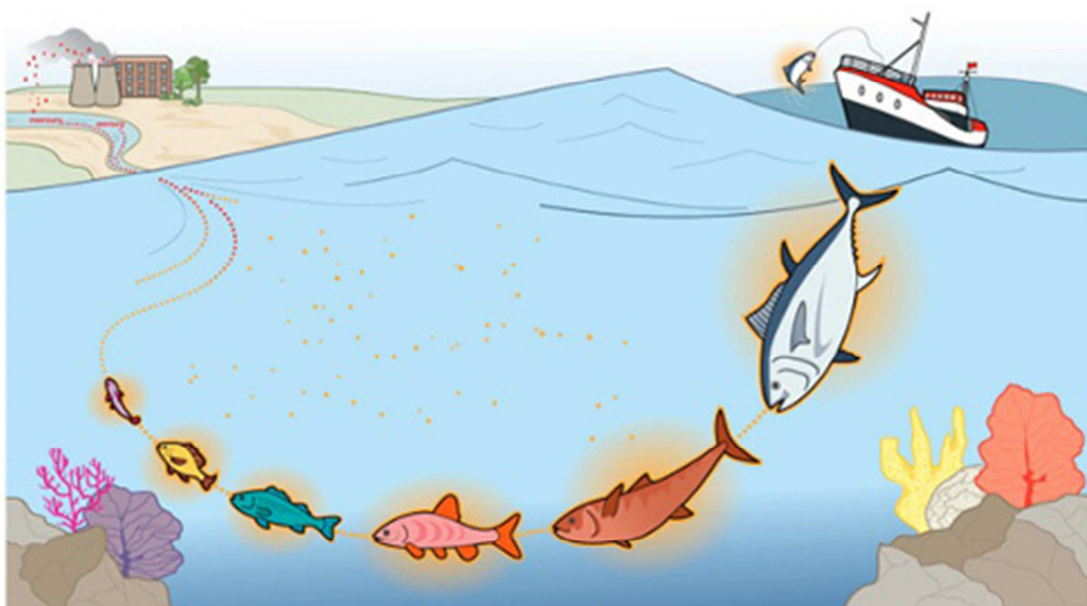
1.1. TEŠKI METALI U OKOLIŠU

Pojam teški metali obuhvaća metale gustoće veće od 5 g/cm^3 , od kojih se u okolišu najčešće pojavljuju arsen (As), oovo (Pb), živa (Hg), kadmij (Cd), krom (Cr), bakar (Cu), nikal (Ni) i cink (Zn) (slika 1.1).

74,922 As Arsen 33	207,20 Pb Oovo 82	200,59 Hg Živa 80	112,41 Cd Kadmij 48	51,996 Cr Krom 24	63,546 Cu Bakar 29	58,693 Ni Nikal 28	65,39 Zn Cink 30
------------------------------------	-----------------------------------	-----------------------------------	-------------------------------------	-----------------------------------	------------------------------------	------------------------------------	----------------------------------

Slika 1.1. Pojedini teški metali najčešće prisutni u okolišu⁴

Teški metali su toksični već pri niskim koncentracijama zbog čega se najčešće povezuju s onečišćenjem okoliša³. Zbog visoke topljivosti u vodenim sustavima, često su prisutni u ionskom obliku te se apsorbiraju u živim organizmima, ulaze u lanac ishrane i akumuliraju se u ljudskom tijelu (slika 1.2).

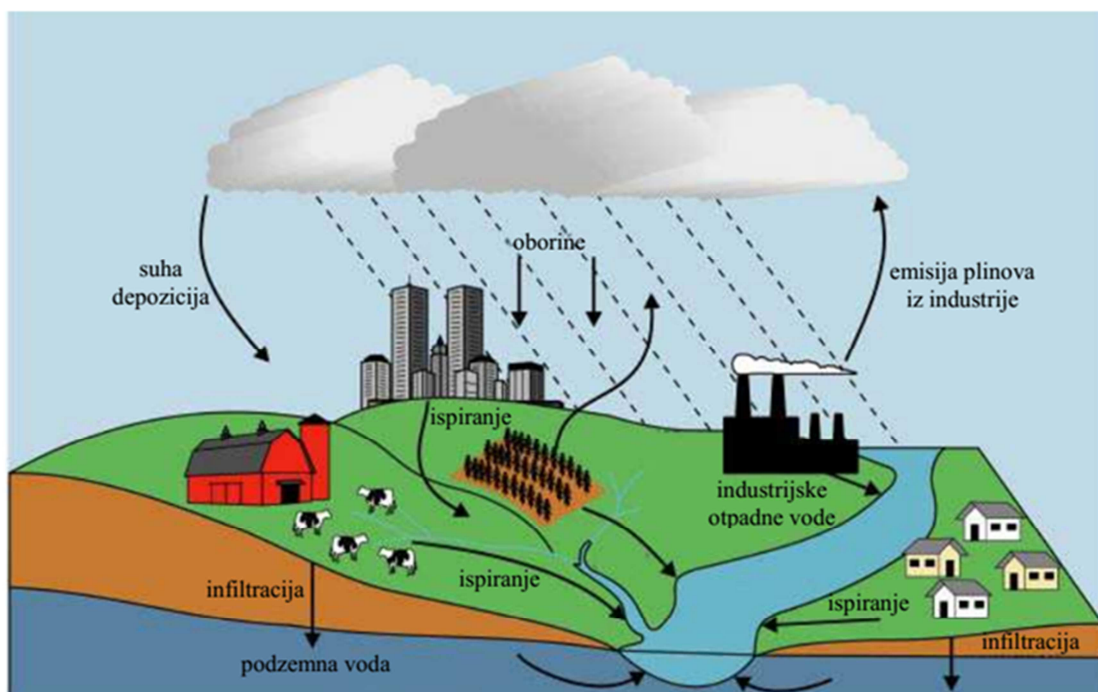


Slika 1.2. Bioakumulacija teških metala i ulazak u lanac ishrane⁵

Esencijalni metali (Cu, Zn, Mn i Fe) su neophodni za mnogobrojne funkcije u ljudskom organizmu, a njihov manjak dovodi do pojave ozbiljnih zdravstvenih problema. Najbolji primjeri su pojava anemije zbog manjka željeza u krvi, problem u rastu zbog manjka

nikla, smetnje u funkciji hipofize, štitnjače i nadbubrežne žljezde uslijed manjka cinka, dok je dijabetes usko povezan s manjkom kroma u organizmu. U većim koncentracijama navedeni metali postaju izrazito toksični. Neesencijalni metali (Cd, Pb, Hg i Cr) su izrazito toksični i kancerogeni te mogu dovesti do oštećenja bubrega, jetre, živčanog i reproduktivnog sustava već pri niskim koncentracijama⁶.

Metali se nalaze u svim Zemljinim slojevima, atmosferi, litosferi i hidrosferi; ne razgrađuju se, već kruže u prirodi u različitim kemijskim i oksidacijskim oblicima. Razlikujemo prirodne i antropogene izvore teških metala u okolišu. Od prirodnih izvora posebno su značajne vulkanske erupcije koje su dovele do značajnog onečišćenja atmosfere. Prisutni su u geološkim depozitima, u stijenama Zemljine kore, u rudama, kao nečistoće u mineralima, a određena količina teških metala postoji u tlu, sedimentu, vodama i živim organizmima³. Emisije iz antropogenih izvora kao urbanizacija, brojni industrijski procesi te ispiranje tla iz rudnika i s poljoprivrednih površina (slika 1.3) znatno povećavaju prirodno prisutne razine teških metala u okolišu⁴.



Slika 1.3. Antropogeni izvori teških metala u okolišu⁷

Teški metali ne nestaju nego se kreću kroz ekosustav i imaju normalan biogeokemijski ciklus. U svom ionskom obliku mogu biti zamjenjeni drugim ionom u enzimima metal-protein građe⁸. Najpoznatiji primjer je zamjena Zn^{2+} sa Cd^{2+} ionom pri čemu dolazi do

inaktivacije enzima inhibicije, odnosno potpunog blokiranja važnih biokemijskih procesa u organizmu. Najtoksičniji ioni teških metala (Zn^{2+} , Pb^{2+} , Cd^{2+} i Hg^{2+}) su ujedno i najstabilniji oblik navedenih metala koji gradi vrlo stabilne i izrazito toksične spojeve sa biomolekulama⁸.

Tablica 1.1. Pregled maksimalno dopuštenih koncentracija (MDK) teških metala u vodi za ljudsku potrošnju⁹

Teški metali	MDK, mg/L		
	EU ¹⁰	WHO ¹¹	US EPA ¹²
Cu	0,1-3,0	2,0	1,0
Zn	0,1-5,0	1,0	5,0
Cd	0,005	0,005	0,005
Pb	0,05	0,01	0,015
Cr	0,05	0,05	0,1
Hg	0,001	0,001	0,002
Ni	0,2	1,0	0,07
As	0,01	0,01	0,05

Teški metali migriraju u okoliš toliko dugo dok jednim dijelom ne priđu u netopljivi oblik i završe u sedimentu gdje mogu ostati dugo vremena. Treba imati na umu da sediment predstavlja opasnost ponovne aktivacije nagomilane povišene koncentracije metala i njihovog ponovnog kruženja vodama, živim organizmima, tlom i zrakom⁴. Maksimalno dozvoljene koncentracije nekih teških metala u vodi za ljudsku potrošnju dane su u tablici 1.1.

1.1.1. Kadmij

Kadmij (*lat. Cadmium*) je mekan, savitljiv, srebrno-bijeli ili plavkasto-bijeli metal (slika 1.4) sličan i srodan cinku, koji ga redovito prati u mineralima. Hlapljiviji je od cinka pa se stoga nalazi u prvim frakcijama prašine koja se taloži u predlošcima pri destilaciji cinka¹³. Dobiva se kao nusprodukt pri rafiniranju i preradi cinkove rudače.

Koristi se u galvanizaciji pri čemu se dobivaju proizvodi otporni na koroziju, za stabilizaciju polimera, u proizvodnji pigmenata i nikal-kadmij baterija⁷.



Slika 1.4. Kadmij u elementarnom stanju¹³

Najvažniji mineral kadmija je grinokit. Spojevi kadmija su vrlo otrovni¹³. U prirodi se javlja u anorganskom obliku kao posljedica trošenja stijena i vulkanskih emisija. Antropogeni izvori kadmija su izgaranje ugljena, nafte, spaljivanje otpada, spaljivanja fosilnih goriva, proizvodnja cementa, izgaranje benzina te proizvodnja i uporaba mineralnih gnojiva. Sadržaj kadmija u zraku uglavnom iznosi od 0,1 do 500 ng/m³, a vrijeme zadržavanja je od 20 do 30 dana. U vodi se koncentracija kadmija može kretati od 0,01 µg/L (nezagađene vode) do 42000 µg/L (zagađene vode), a vrijeme zadržavanja kadmija u jezerskoj vodi iznosi od 1 do 2 godine¹². U vodenoj sredini na visoke koncentracije kadmija posebno su osjetljive ribe jer kadmij istiskuje Ca²⁺ i Mg²⁺ iz tkiva u škrnama koje bivaju potpuno uništene¹². Kadmij nema esencijalne biološke funkcije i jedan je od najtoksičnijih teških metala u životnoj sredini. U ljudskom organizam uglavnom se unosi disanjem i probavom, dok je apsorpcija kadmijevih spojeva kroz kožu zanemariva. Nakuplja se u mnogim tkivima, a posebice u bubrežima, jetri i plućima. Djeluje i na kardiovaskularni, imunološki i reproduktivni sustav. Kadmij se dugo zadržava u ljudskom organizmu uz vrijeme poluraspada od 10 do 30 godina te utječe na strukturu kostiju izazivajući njihovu deformaciju⁷.

1.1.2. Cink

Cink (*lat.* Zincum) je plavkasto-bijeli metal (slika 1.5), da se kovati i valjati u tanke ploče te je lako lomljiv kada je lijevan. Otapa se u kiselinama i jakim lužinama. Na zraku je stabilan jer na površini stvara sloj oksida koji ga štiti od korozije. U prirodi se ne može naći u elementarnom stanju. Dobiva se iz cinkovih ruda sulfida sfalerita (ZnS)¹⁴.



Slika 1.5. Cink u elemetarnom stanju¹⁴

Cink dospijeva u okoliš taloženjem iz atmosfere, putem poljoprivrednih aktivnosti (gnojiva, uzgoj gljiva) te iz u kanalizajskog mulja. Cink je mikronutrijent koji ima posebne fiziološke funkcije u svim živim bićima kao što je održavanje strukture i funkcionalnosti bioloških membrana te olakšavanje sinteze proteina¹⁵. Pri visokim koncentracijama cink je toksičan, dok je pri niskim koncentracijama esencijalan element čiji nedostatak uzrokuje ozbiljne zdravstvene probleme. Ukupna količina cinka u ljudskom organizmu kreće se u granicama od 1,4 do 2,3 g. Nalazi se u svim dijelovima tijela, sadržan je u više od 300 enzima i utječe na hormone, diobu stanica, jača imunološki sustav, a najviše ga ima u eritrocitima, leukocitima, kostima, mišićima, jetri, gušteraci i prostati. U ekstremnim slučajevima zbog nedostatka cinka javlja se patuljasti rast, sniženi stupanj zgrušavanja krvi i zacjeljivanje rana, kožni poremećaji, povraćanje te poremećena probava i neurološki razvoj u dojenčadi, djece i tinejdžera. Povećana koncentracija cinka u ljudskom organizmu djeluje na bubrege te dovodi do poremećaja mineralnog sastava organizma. Simptomi trovanja cinkom su probavne tegobe, znojenje, drhtavica, bolovi u mišićima i umor⁷.

1.2. UKLANJANJE TEŠKIH METALA IZ OTPADNIH VODA

Industrijske otpadne vode, u kojima su teški metali prisutni u obliku iona, smatraju se najvećim izvorom onečišćenja što prisiljava industriju na modifikaciju tehnoloških procesa i uvođenje naprednih metoda obrade otpadnih voda. Za uklanjanje visokih koncentracija teških metala iz otpadnih voda primjenjuju se najčešće oksidacija, redukcija i neutralizacija uz kemijsko taloženje. Procesi trećeg stupnja obrade, tj. adsorpcija, ionska izmjena i membranske tehnike primjenjuju se za uklanjanje teških metala do ispod graničnih dopuštenih koncentracija³. Pročišćavanje otpadnih voda je proces smanjenja onečišćenja do onih količina ili koncentracija s kojima pročišćene otpadne vode ispuštene u prirodne prijamnike nisu opasne za ljudsko zdravlje i ne uzrokuju neželjene promjene u okolišu. Koji postupak pročišćavanja otpadne vode će se koristiti prije nego se ispusti u prirodu ovisi o količini i sastavu otpadne vode (vrsti otpadne vode), kao i o kakvoći vode koja se zahtijeva na mjestu ispuštanja⁴. Iako se za uklanjanje teških metala iz onečišćene otpadne vode mogu primijeniti različiti postupci kao što su kemijsko taloženje, ionska izmjena, flotacija, koagulacija/flokulacija, adsorpcija, membranska filtracija i dr., svaki od navedenih postupaka ima prednosti i nedostatke u primjeni (tablica 1.2).

Tablica 1.2. Nedostaci metoda uklanjanja teških metala¹⁶

Metoda obrade	Nedostaci
Kemijsko taloženje	- spor proces - loše taloženje, stvaranje mulja, visoki procesni troškovi zbog kemikalija koje se koriste i obrade mulja prije njegova odlaganja
Koagulacija/flokulacija	- stvaranje mulja, visoki procesni troškovi zbog velike potrošnje kemikalija i odlaganja mulja
Membranska filtracija	- zasićenje membrana, visoki procesni troškovi i troškovi održavanja, visoka potrošnja energije
Ionska izmjena	- mala površina, visoki kapitalni troškovi
Elektrokemijska obrada	- visoki procesni troškovi, potrebno redovito održavanje, visoka potrošnja energije

Obično se koristi kombinacija niza postupaka kako bi se dobili što bolji rezultati. Najčešću primjenu ima proces kemijskog taloženja koji se primjenjuje pri većim koncentracijama teških metala u vodama. Međutim, za smanjenje koncentracije teških metala do ispod MDK primjenjuju se napredni procesi od kojih vrlo često adsorpcija i ionska izmjena. Suvremenim razvojem tehnologije vode potaknuo je praksu da se obrađena otpadna voda ne ispušta u prirodne prijamnike nego obradom naprednim procesima (mikrofiltracija, ultrafiltracija, reverzna osmoza) ponovno koristi kao procesna voda u industriji. Posljednjih godina su adsorpcija i ionska izmjena postale atraktivne metode u uklanjanju teških metala iz otpadnih voda do koncentracija ispod MDK zbog primjene *low-cost* sorbenta kao što su prirodni zeoliti. Mnoga su istraživanja pokazala da zeoliti imaju visoki kapacitet izmjene iona teških metala pri različitim eksperimentalnim uvjetima. Klinoptilolit je jedan od najrasprostranjenijih te najčešće proučavanih prirodnih zeolita koji je dobio veliku pažnju u obradi otpadnih voda zbog selektivnosti prema ionima teških metala¹⁷.

1.3. ZEOLITI

Zeoliti su hidratizirani aluminosilikatni minerali karakterističnih šupljina (pore) u strukturi. U prirodi je pronađeno gotovo 50 vrsta zeolitnih minerala. Ali ih je samo šest prisutno u znatnim količinama u sedimentnim naslagama, a to su: klinoptilolit, mordenit, erionit, habazit, heulandit i filipsit (slika 1.6)³.



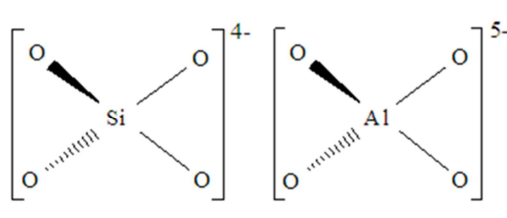
Slika 1.6. Zeolitni minerali koji su najzastupljeniji u prirodi¹⁸

1.3.1. Porijeklo zeolita

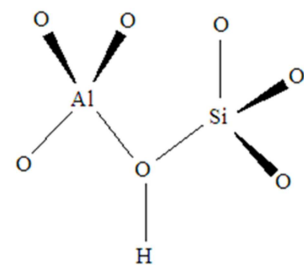
Većina prirodnih zeolita su nastali kao posljedica vulkanskih aktivnosti. Naime, prilikom kontakta vruće lame i morske vode dolazi do stvaranja kristaličnih struktura zvani zeoliti^{19,20}. Ovaj proces trajao je tisućama godina. Riječ zeolit je nastala od grčkih riječi *zeo* – kipjeti i *lithos* – kamen²¹, što znači ključajući (vareni) kamen. Ime mu je dao švedski mineralog Awel Fredrik Cronstedt 1756. godine, koji je otkrio zeolite kao i njihovo svojstvo bubrenja. Uočio je da se prilikom grijanja ovog minerala oslobođala para dok voda vrije i činilo se da zeolit ključa zbog brzog gubitka vode koja je bila adsorbirana u porama i šupljinama unutar strukture zeolita²². Većina zeolita se pojavljuje prirodno u obliku minerala te su iskopi zeolita prisutni u svim dijelovima svijeta. Vrstu tvari zeolita određuju brojni faktori- oblik vulkanske tvari koja stigne do vode (lava ili pepeo) te vrsta vode zajedno s alkalitetom vode i vrstom te koncentracijom iona koje voda sadrži. Rude prirodnih zeolita mogu se naći u stijenama u blizini aktivnih ili ugašenih vulkana u mnogim dijelovima svijeta. Većina svjetskih nalazišta zeolitima je u Aziji, Australiji i Europi te dio u SAD-u. Zeoliti se dijele u dvije velike skupine ovisno o njihovom izvoru na prirodne koji se iskapaju iz zemlje, i sintetičke koji se mogu napraviti u laboratoriju. Većina prirodnih zeolita lako je dostupna u velikim prirodnim nalazištima, a mogu se upotrebljavati uz niske troškove kao alternativa sintetičkim zeolitima. Primjer takvih su klinoptiolit i habazit¹⁹.

1.3.2. Struktura zeolita

Struktura zeolita sastavljena je od primarnih strukturnih jedinica AlO_4^- i SiO_4 tetraedara prikazanih na slici 1.7. Njihovim međusobnim povezivanjem preko zajedničkog atoma kisika nastaju dvodimenzionalne i trodimenzionalne sekundarne strukturne jedinice (slika 1.8) s točno definiranim dimenzijama šupljina i kanala^{3,7}.

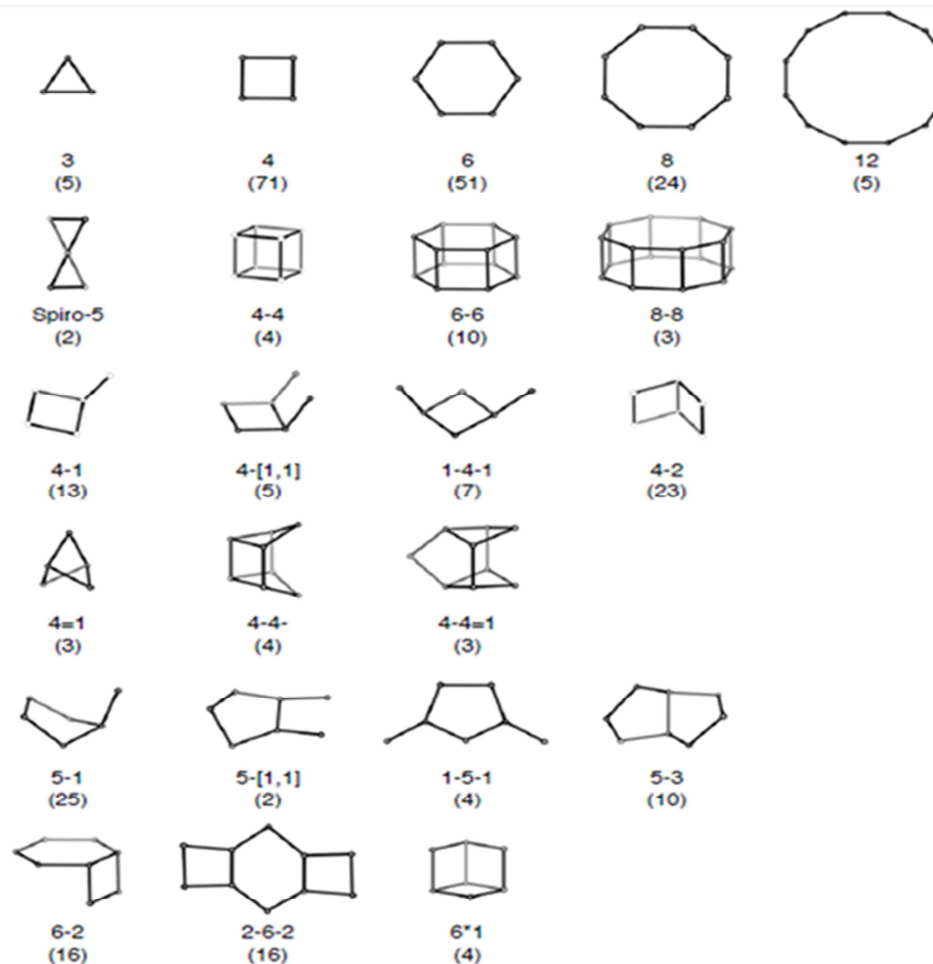


Slika 1.7. Primarne strukturne jedinice zeolita¹⁹



Slika 1.8. Sekundarne strukturne jedinice zeolita¹⁹

Trenutno postoje 23 vrste različitih strukturnih jedinica (slika 1.9).



Slika 1.9. Sekundarne strukturne jedinice i njihovi simboli¹⁹

Negativan naboj kristalne strukture, uzrokovani izomorfnom zamjenom Si^{4+} s Al^{3+} , kompenzira se izmjenjivim hidratiziranim alkalijskim i zemnoalkalijskim kationima (Na^+ , K^+ , Ca^{2+} i Mg^{2+}) koji su smješteni u kanale i šupljine strukture zeolita. Ovi izmjenjivi kationi su pokretljivi i omogućuju primjenu zeolita kao ionskih izmjenjivača^{7,19}.

Zeoliti se mogu prikazati općom formulom³:

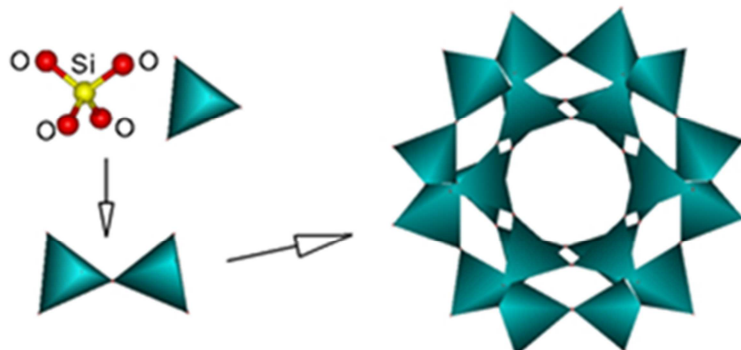
$$(\text{I}_x^+, \text{I}_y^{2+}) [\text{Al}_{(x+2y)} \cdot \text{Si}_{n-(x+2y)} \cdot \text{O}_{2n}] \cdot m \quad (1-1)$$

gdje je:

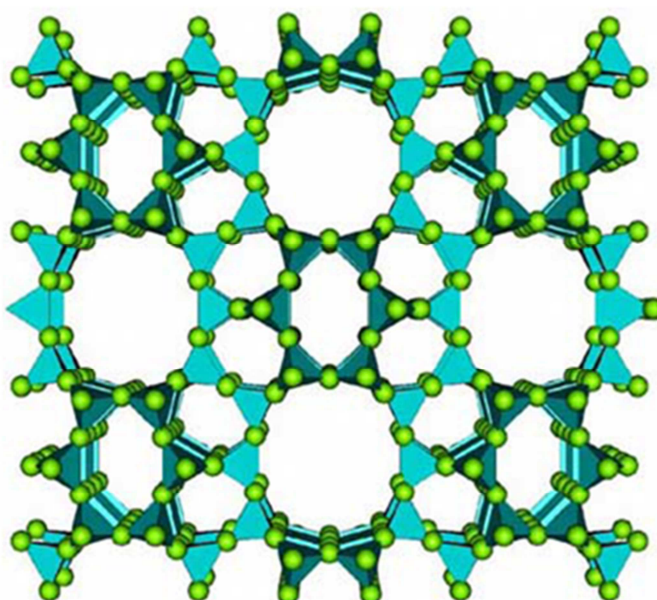
I^+ - jednovalentni izmjenjivi kation Na^+ ili K^+ stehiometrije x

I^{2+} - dvovalentni izmjenjivi kation Ca^{2+} ili Mg^{2+} stehiometrije y
n - ukupan broj atoma Si i Al
m - broj molekula vode; $n/2 < m < n$.

Slike 1.10 i 1.11 prikazuju kako primarne strukturne jedinice spajajući se zajedno tvore različite vrste skundarnih jedinica¹⁹.



Slika 1.10. Povezivanje SiO_4 primarnih strukturnih jedinica i stvaranje sekundarnih strukturnih jedinica¹⁹



Slika 1.11. Kemijski model složene strukture zeolita; šupljine različitih veličina predstavljaju kanale i kaveze¹⁹

Zeoliti su prirodno porozni s porama manjim od 2 nm zbog čega pripadaju grupi mikroporoznih materijala. Materijali s porama veličine od 2 nm do 50 nm klasificirani

su kako mezoporozni, dok svi oni s porama većim od 50 nm pripadaju makroporoznim materijalima¹⁹.

1.3.3. Primjena zeolita

Zeoliti su dobri adsorbenti, izmjenjivači iona i molekulske sita. Svojstvo molekulske sita zeolita je posebno primjenjeno u industriji¹⁹. Kroz tako male pore mogu proći samo molekule manjih dimenzija koje se snažno adsorbiraju i ostaju zarobljene. To se svojstvo zeolita primjenjuje za uklanjanje vlage iz prirodnih i tehničkih plinova te organskih spojeva, za adsorpciju freona u hladnjacima, te za selektivno uklanjanje plinova kao CO₂ iz prirodnog plina, razdvajanje N₂ iz zraka od O₂, CH₄ od N₂, SO₂ iz prirodnih i tehničkih plinova, a također i za uklanjanje neugodnih mirisa³. Zbog sposobnosti adsorbcije i zadržavanja vode kao i mnogih hranjivih tvari iz gnojiva (nitrati, fosfati, kalij), zeoliti se primjenjuju u poljoprivredi, u obradi tla pri uzgoju biljaka, travnjaka na stadionima i sportskim terenima. Njihovim umješavanjem u zemlju u količini od 70 - 90%, povećava se biološka aktivnost tla jer se osigurava kontinuirano doziranje vode i nutrienata u poljoprivredno zemljište. Uslijed izmjene H⁺ iz tla s kationima iz strukture zeolita smanjuje se kiselost tla. Ovakvom primjenom zeolita smanjuje se ispiranje dušika i njegovih spojeva u podzemne vode kao i teških metala te radioaktivnih elemenata³. Kao katalizatori služe u konverziji ugljikohidrata (alkilacija, kreking, hidrokreking, izomerizacija), hidrogenaciji i dehidrogenaciji, dehidraciji, prevođenju metanola u benzin, te kao katalizatori u drugim organskim i anorganskim reakcijama. Osim navedenog prirodni zeoliti se sve češće koriste kao punila u industriji papira, a nakon zasićenja teškim metalima kao dodatak cementima i betonima, čime je riješen problem njihovog zbrinjavanja. Zbog izvrsnih adsorpcijskih i ionoizmjenjivačkih svojstava, zeoliti se primjenjuju za uklanjanje iona teških metala iz prirodnih i industrijskih otpadnih voda (Pb, Hg, Cd, Cu, Cr, Zn) te radioaktivnih iona iz otpadnih voda nuklearnih postrojenja (Cs, Rb, Sr, U)³.

1.3.3.1. Uklanjanje teških metala iz otpadnih voda primjenom zeolita

Sve stroži zahtjevi za visoko kvalitetnom vodom za ljudsku potrošnju doveli su do globalne potrebe za pročišćavanjem kako prirodnih tako i otpadnih voda, voda iz industrije, poljoprivrede i kućanstva. Primjena prirodnih zeolita u pročišćavaju otpadnih

voda zbog njihovih izvornih fizikalno-kemijskih svojstava, luke dostupnosti, ekološke prihvatljivosti i visoke učinkovitosti pobudila je ogroman interes te potakla opsežna istraživanja. Uklanjanje iona teških metala iz vodenih otopina do ispod graničnih dopuštenih vrijednosti može se izvesti šaržnim postupkom i postupkom u koloni. Učinkovitost oba postupka ovisi o načinu aktivacije prirodnog zeolita, vrsti i koncentraciji iona koji se izmjenjuju te o uvjetima provedbe eksperimenta. Šaržni postupak je diskontinuiran i pogodan za obradu manje količine vode, dok je postupak u koloni kontinuiran što omogućuje njegovu primjenu u obradi veće količine vode. Također zahtjeva manje investicije i operativne troškove što ga čini ekonomski prihvatljivijim u odnosu na šaržni³.

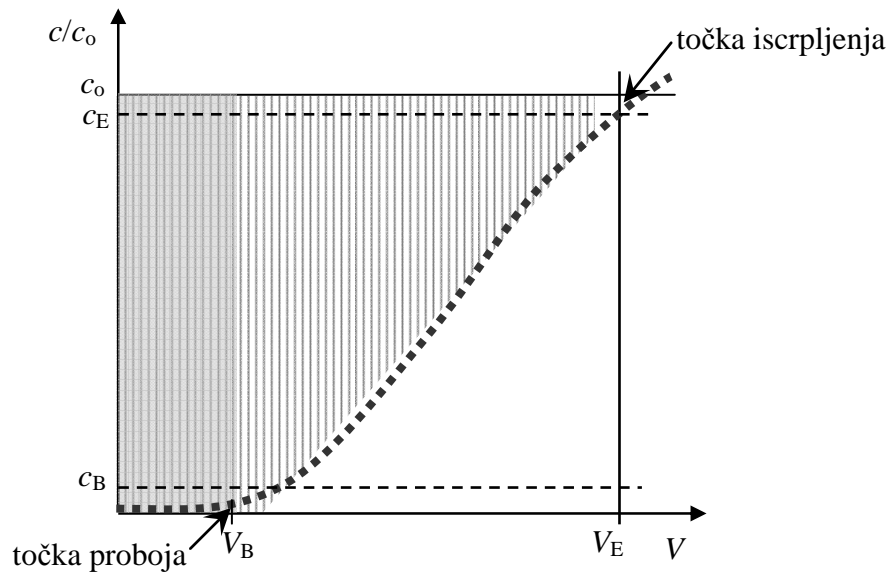
1.4. POSTUPAK U KOLONI

Postupak u koloni sastoji se od radnog ciklusa i ciklusa regeneracije. Radni ciklus se sastoji od propuštanja otopine iona teških metala kroz nepomični sloj zeolita određene visine sve dok se koncentracija na izlazu iz kolone (efluent) ne izjednači s koncentracijom u početnoj otopini (influent). Naime, prema metodi koju je predložio Michael, pretpostavlja se da se visina sloja zeolita u koloni, pri određenim konstantnim uvjetima, može podijeliti na tri zone³:

- zonu nezasićenog sloja (*eng.* Unused Bed Zone, UBZ) u kojoj još nije započeo proces vezanja
- zonu prijenosa tvari (*eng.* Mass Transfer Zone, MTZ) u kojoj se zbiva proces vezanja iona
- zonu ravnoteže (*eng.* Equilibrium Bed Zone, EBZ) u kojoj je zeolit potpuno zasićen i u ravnoteži s influentom.

Proces započinje zasićenjem sloja zeolita koji se nalazi u neposrednom kontaktu s vodenom otopinom te se formira *zona prijenosa tvari* (MTZ) koja se kreće kroz sloj od vrha prema dnu kolone, znatno manjom brzinom od linearne brzine otopine. Kada se MTZ spusti na dno kolone, u efluentu se počinju pojavljivati ioni metala te je postignuta *točka proboga* (*eng.* Breakthrough Point). Kada se koncentracija iona metala u enfluentu izjednači s onom u influentu, MTZ se zasitio, postignuta je *točka iscrpljenja* (*eng.*

Exhaustion Point). Promjena koncentracije iona metala u efluentu prikazuje se *krivuljom proboga* (eng. Breakthrough Point) na slici 1.12.



Slika 1.12. Tipična krivulja proboga³

Krivulja proboga izražena je grafičkom ovisnošću c/c_o o volumenu V ili broju volumena sloja BV (eng. Bed Volume). BV je broj volumena V_s gusto pakovanog sloja zeolita izražen preko volumena otopine V , a izračunava se pomoću jednadžbe³:

$$BV = \frac{V}{V_s} \quad (1-2)$$

gdje je:

V - volumen efluenta u vremenu t , mL

V_s - volumen sloja zeolita, mL.

Volumen sloja zeolita računa se prema jednadžbi³:

$$V_s = A \cdot H = \frac{d^2 \cdot \pi}{4} \cdot H \quad (1-3)$$

gdje je:

A - površina poprečnog presjeka kolone, cm^3

d - unutarnji promjer kolone, cm.

Iz krivulje proboja vidljivo je da koncentracija iona metala u efluentu nakon pojave točke proboja raste tvoreći karakterističan S-oblik krivulje (slika 1.12). Općenito vrijedi da je točka proboja postignuta kada koncentracija iona teških metala u efluentu iznosi 5% od koncentracije u influentu, a točka iscrpljenja 95% od koncentracije u influentu³. Integracijom površine iznad krivulje proboja izračunava se *kapacitet u točki proboja* i *kapacitet u točki iscrpljenja*. Površina omeđena s dvije koordinatne osi, vrijednostima početne koncentracije c_o i volumena u točki proboja V_B , odgovara kapacitetu u točki proboja³:

$$q_B = \frac{\int_0^{V_B} (c_o - c) dV}{\rho \cdot H \cdot A} = \frac{n_B}{m} = \frac{c_o \cdot V_B}{m} \quad (1-4)$$

gdje je :

q_B - kapacitet u točki proboja, mmol/g

n_B - ukupna količina iona metala vezana u sloju zeolita do točke proboja, mmol

m - masa zeolita u koloni, g

ρ - gustoća sloja zeolita, g/cm³.

Površina iznad krivulje proboja omeđena s ordinatom, vrijednošću početne koncentracije c_o i krivuljom proboja odgovara kapacitetu u točki iscrpljenja³:

$$q_E = \frac{\int_0^{V_E} (c_o - c) dV}{\rho \cdot H \cdot A} = \frac{n_E}{m} \quad (1-5)$$

gdje je :

q_E - kapacitet u točki iscrpljenja, mmol/g

n_E - ukupna količina iona metala vezana u sloju zeolita do točke iscrpljenja,

mmol.

Iz omjera kapaciteta u točki proboja i kapaciteta u točki iscrpljenja za ukupnu (Cd+Zn) koncentraciju može se izračunati *efikasnost kolone*³:

$$\eta = \frac{q_B}{q_E} \quad (1-6)$$

gdje je:

η - efikasnost kolone, -.

Ciklusom regeneracije iz zasićenog sloja zeolita moguće je eluirati ione teških metala čime se isti sloj zeolita može više puta koristiti u uzastopnim radnim ciklusima, sve dok ne dođe do smanjenja njegova kapaciteta, kada se zamjenjuje novim slojem. Ponovna uporaba istog sloja zeolita pozitivno utječe na okoliš jer ne dolazi do stvaranja novog otpada. Ioni metala iz koncentrata dobivenog eluiranjem iz sloja zeolita u procesu regeneracije mogu se jednostavnim kemijskim taloženjem ukloniti iz vode, ili postoji mogućnost ponovnog korištenja eluiranih metala, ali za to su nužna nova i detaljnija istraživanja²⁵.

2. EKSPERIMENTALNI DIO I REZULTATI

2.1. PRIPRAVA UZORKA ZEOLITA

Prirodni zeolit (slika 2.1) korišten u ovome radu porijekom je iz nalazišta Zlatokop u Vranjskoj Banji, Srbija, s udjelom klinoptiolita do $\approx 80\%$ te veličinom čestica 0,6 - 0,8 mm.



Slika 2.1. Prirodni zeolit klinoptilolit veličine čestica 0,6 - 0,8 mm

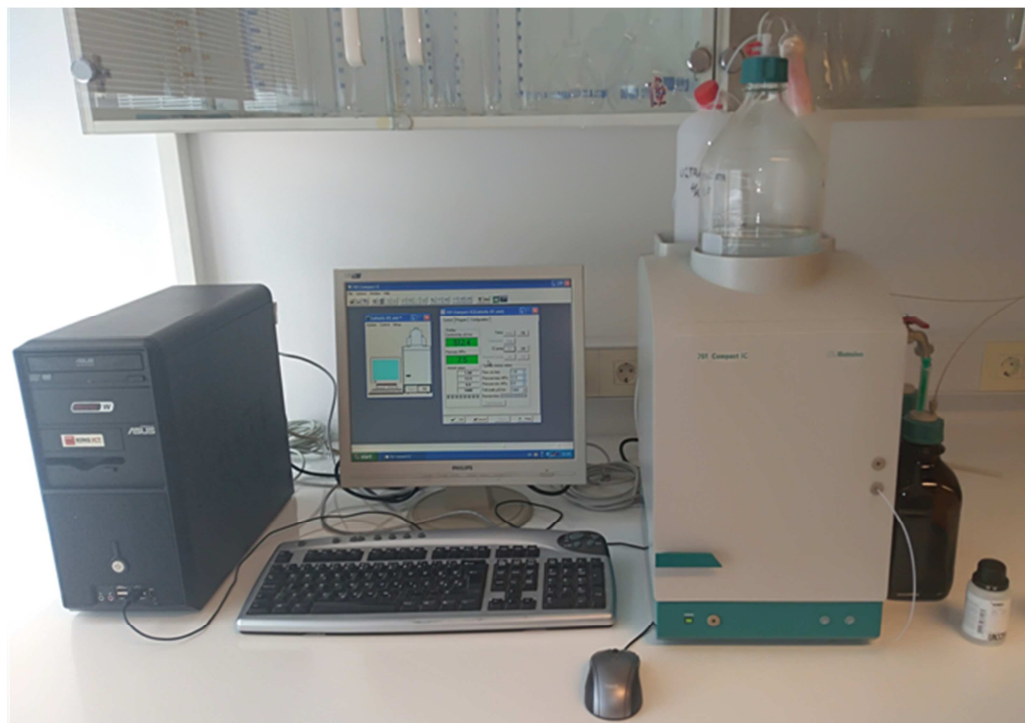
Zeolit je ispran nekoliko puta ultračistom vodom u svrhu uklanjanja prisutnih nečistoća te osušen u sušioniku pri $60\text{ }^{\circ}\text{C}$. Pri stavljanju zeolita u kolonu do visine od 8 cm treba paziti da ne zaostanu mjehurići zraka kako bi se postigla što bolja kompaktnost sloja.

2.2. PRIPRAVA BINARNE VODENE OTOPINE KADMIJA I CINKA

Binarna vodena otopina kadmijevih i cinkovih iona ukupne početne množinske koncentracije $c_o \approx 1\text{ mmol/L}$ pripravljena je otapanjem precizno na analitičkoj vagi odvaganih soli $\text{Cd}(\text{NO}_3)_2 \cdot 4\text{H}_2\text{O}$ i $\text{Zn}(\text{NO}_3)_2 \cdot 6\text{H}_2\text{O}$ u ultračistoj vodi. Pojedinačne početne množinske koncentracije Cd i Zn bile su $c_o(\text{Cd}) \approx c_o(\text{Zn}) \approx 0,5\text{ mmol/L}$, pri čemu je koncentracijski omjer $c_o(\text{Cd})/c_o(\text{Zn})$, tj. $\text{Cd}/\text{Zn} \approx 1,00$. U svakoj od pripravljenih otopina izmjerena je početna pH vrijednost te je određena početna koncentracija kadmijevih i cinkovih iona na ionskom kromatografu (slika 2.2).

2.3. ODREĐIVANJE POJEDINAČNIH KONCENTRACIJA KADMIJA I CINKA

Koncentracija kadmijevih i cinkovih iona u početnoj binarnoj otopini te efluentima radnih ciklusa određena je metodom ionske kromatografije na uređaju Metrohm 761 Compact IC (slika 2.2) u kationskoj koloni Nucleosil 5SA.



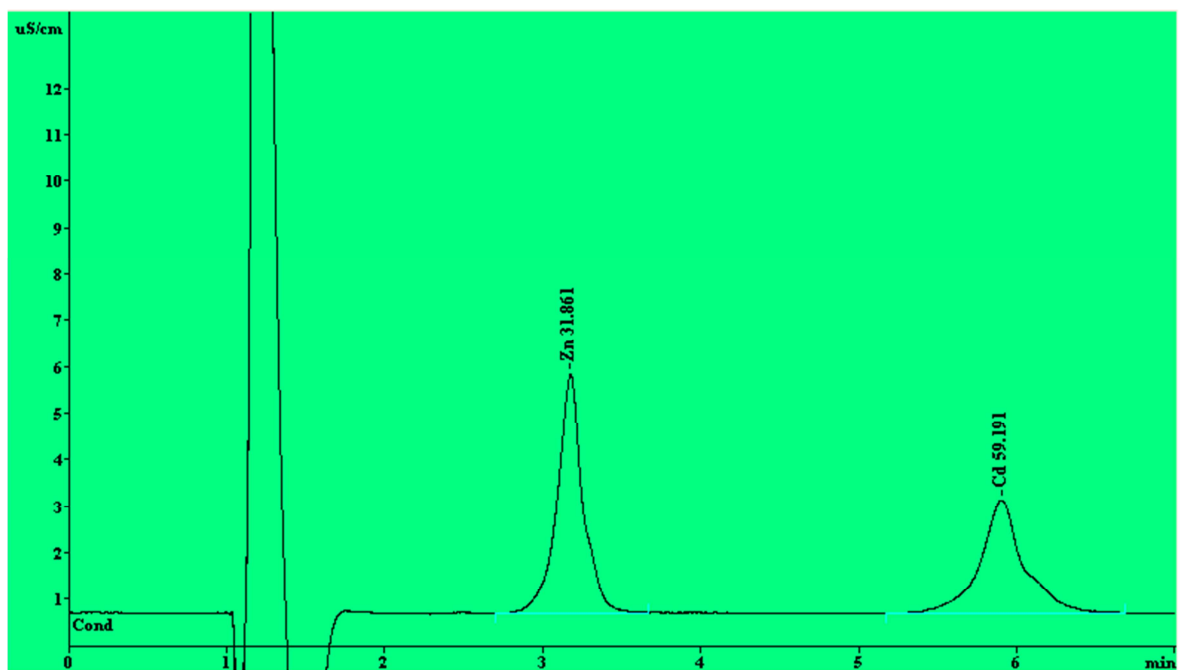
Slika 2.2. Ionski kromatograf Metrohm 761 Compact IC spojen na osobno računalo

Potrebne kemikalije za određivanje na ionskom kromatografu su:

- *eluens* kao mobilna faza koji se sastoji od tartarne kiseline $c = 4 \text{ mmol/L}$, limunske kiseline $c = 0,5 \text{ mmol/L}$, etilendiamina $c = 3 \text{ mmol/L}$ i 5% vodene otopine acetona
- *standardne otopine* kadmija i cinka masenih koncentracija $\gamma = 5, 10 \text{ i } 15 \text{ mg/L}$.

Postupak određivanja: Eluens pripremljen u ultračistoj vodi filtrira se kroz mikrofilter veličine pora $0,45 \mu\text{m}$ i odzrači od mjehurića vakuum pumpom. Najmanje dva sata prije mjerjenja eluens se propušta kroz kolonu kromatografa protokom od 1 mL/min . Nakon toga se napravi kalibracija uređaja u najmanje tri točke injektiranjem standardnih otopina kadmija i cinka masenih koncentracija $\gamma = 5, 10 \text{ i } 15 \text{ mg/L}$. Potom se injektiraju uzorci

volumena $10 \mu\text{L}$, a rezultati masenih koncentracija kadmija i cinka se očitaju iznad pikova kromatograma (slika 2.3).



Slika 2.3. Primjer kromatograma kolone Nucleosil 5SA pri određivanju koncentracije kadmijevih i cinkovih iona

2.4. ODREĐIVANJE pH VRIJEDNOSTI

Osim određivanjem koncentracije Cd i Zn, vezanje iona na zeolit u koloni pratilo se i mjerjenjem pH vrijednosti u efluentima radnih ciklusa na pH-metru (slika 2.4) budući da je na taj način moguće brzo i jednostavno utvrditi pojavu točke probaja.

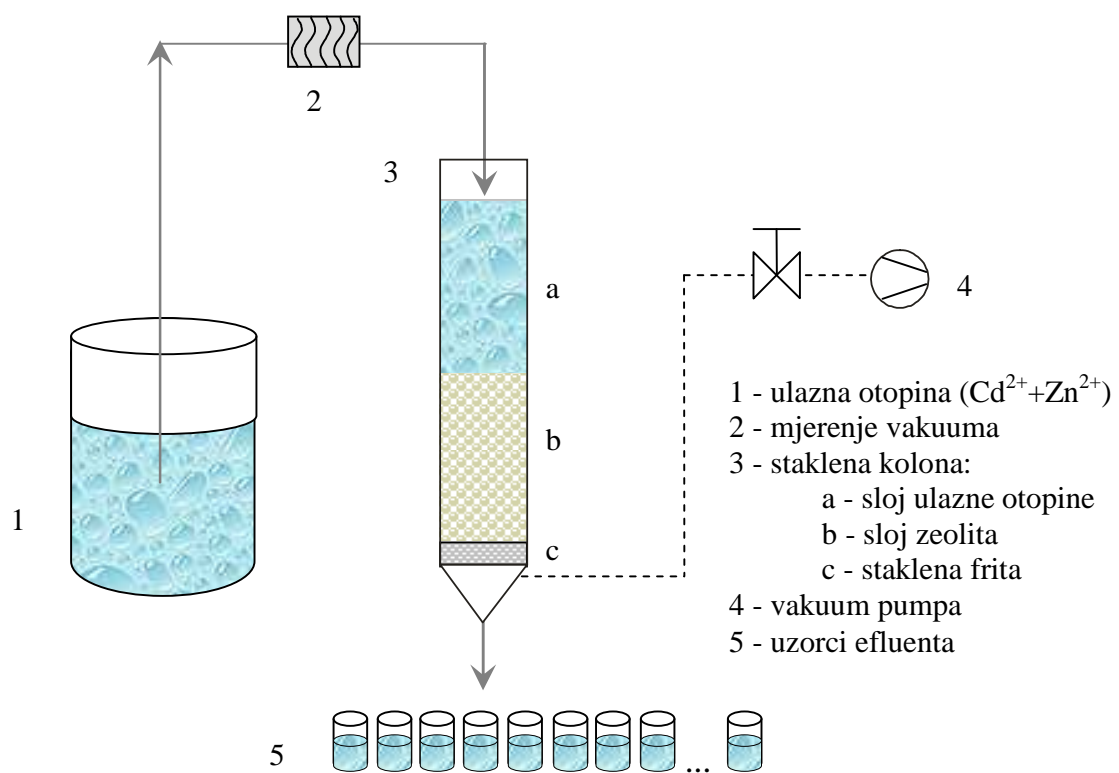


Slika 2.4. Uredaj za mjerjenje pH vrijednosti Mettler Toledo

Prije mjerjenja, pH-metar je baždaren u dvije točke standardnim pufer otopinama $\text{pH} = 4$ i $\text{pH} = 10$.

2.5. IZVEDBA POSTUPKA U KOLONI

Postupak u koloni je shematski prikazan na slici 2.5. Uklanjanje kadmijevih i cinkovih iona iz ekvimolarne binarne vodene otopine provedlo se izotermno pri sobnoj temperaturi ($T = 23 \pm 2^\circ\text{C}$) propuštanjem otopine kroz nepomični sloj zeolita visine 8 cm od vrha kolone prema dnu, uz konstantan protok koji se održavao vakuum pumpom. U zadanim vremenskim intervalima s dna kolone sakupljani su uzorci efluenta u kojima se određivala koncentracija kadmijevih i cinkovih iona te pH vrijednost. U trenutku kada se zeolit zasitio i kada se ukupna koncentracija kadmija i cinka u efluentu izjednačila s koncentracijom u influantu, radni ciklus se prekidao. U svrhu ponovnog korištenja istog sloja zeolita za sljedeći radni ciklus, pri istim radnim uvjetima, provodila se regeneracija otopinom NaNO_3 visoke koncentracije ($c = 176,5 \text{ mmol/L}$) za što bolje eluiranje iona.



Slika 2.5. Shema postupka u koloni³

U tablici 2.1 prikazani su eksperimentalni uvjeti provedenih radnih ciklusa.

Tablica 2.1. Eksperimentalni uvjeti radnih ciklusa

Radni ciklus	Q mL/min	$c_0(\text{Cd})$ mmol/L	$c_0(\text{Zn})$ mmol/L	Cd/Zn
I	1	0,528	0,490	1,08
II	2	0,602	0,565	1,07
III	3	0,544	0,518	1,05
IV	4	0,545	0,524	1,04

Napomena: radni ciklusi za ukupnu (Cd+Zn) koncentraciju pri $Q = 1, 2 \text{ i } 3 \text{ mL/min}$ napravljeni su u diplomskom radu²⁶

Eksperimentalni rezultati za provedene radne cikluse prikazani su u tablicama 2.2 - 2.5.

Tablica 2.2. Eksperimentalni rezultati za radni ciklus pri protoku $Q = 1 \text{ mL/min}$

$V, \text{ L}$	$t, \text{ h}$	BV, -	$c(\text{Cd}), \text{ mmol/L}$	$c(\text{Zn}), \text{ mmol/L}$	$\frac{c(\text{Cd})}{c_o(\text{Cd})}$	$\frac{c(\text{Zn})}{c_o(\text{Zn})}$	pH
0,00	0,00	0,00	0,000	0,000	0,000	0,000	5,12
0,29	4,75	31,52	0,000	0,000	0,000	0,000	6,50
0,54	8,92	59,16	0,000	0,000	0,000	0,000	6,49
0,83	13,83	91,78	0,000	0,000	0,000	0,000	6,60
1,05	17,42	115,56	0,000	0,000	0,000	0,000	6,58
1,42	23,67	157,02	0,000	0,000	0,000	0,000	6,66
1,59	26,42	175,27	0,000	0,000	0,000	0,000	6,66
1,86	31,00	205,68	0,000	0,000	0,000	0,000	6,72
2,17	36,08	239,41	0,000	0,000	0,000	0,000	6,69
2,42	40,25	267,05	0,000	0,000	0,000	0,000	6,73
2,57	42,75	283,64	0,000	0,000	0,000	0,000	6,61
2,62	43,58	289,17	0,000	0,000	0,000	0,000	6,40
2,67	44,50	295,25	0,023	0,209	0,043	0,427	6,26
2,78	46,25	306,86	0,031	0,219	0,059	0,446	6,19
2,84	47,25	313,50	0,042	0,252	0,079	0,514	6,05
2,90	48,25	320,13	0,060	0,280	0,114	0,571	5,97
2,94	49,00	325,11	0,075	0,310	0,141	0,633	5,97
3,00	50,00	331,74	0,096	0,349	0,181	0,713	6,08
3,07	51,08	338,93	0,120	0,386	0,228	0,788	6,04
3,19	53,08	352,20	0,132	0,457	0,250	0,932	6,01
3,25	54,08	358,83	0,165	0,491	0,313	1,002	5,95
3,31	55,08	365,47	0,200	0,515	0,379	1,051	5,95
3,36	56,00	371,55	0,241	0,531	0,456	1,083	6,01
3,49	58,08	385,37	0,279	0,539	0,528	1,100	6,00
3,54	59,00	391,45	0,299	0,548	0,566	1,118	6,03
3,66	61,00	404,72	0,313	0,558	0,592	1,139	6,06
3,85	64,08	425,18	0,366	0,541	0,694	1,103	6,04
3,92	65,25	432,92	0,396	0,539	0,750	1,101	6,04
4,14	68,92	457,25	0,397	0,548	0,752	1,119	6,04

Nastavak tablice 2.2

4,28	71,25	472,23	0,418	0,540	0,792	1,102	6,02
4,40	73,33	486,55	0,421	0,541	0,797	1,104	6,05
4,52	75,33	499,82	0,428	0,551	0,811	1,124	6,02
4,66	77,67	515,30	0,432	0,545	0,818	1,113	6,07
4,87	81,17	538,53	0,434	0,513	0,823	1,046	6,05
5,07	84,50	560,64	0,444	0,531	0,841	1,084	6,07

Tablica 2.3. Eksperimentalni rezultati za radni ciklus pri protoku $Q = 2 \text{ mL/min}$

$V, \text{ L}$	$t, \text{ h}$	BV, -	$c(\text{Cd}), \text{ mmol/L}$	$c(\text{Zn}), \text{ mmol/L}$	$\frac{c(\text{Cd})}{c_o(\text{Cd})}$	$\frac{c(\text{Zn})}{c_o(\text{Zn})}$	pH
0,00	0,00	0,00	0,000	0,000	0,000	0,000	6,43
0,72	5,98	79,29	0,000	0,000	0,000	0,000	7,44
1,00	8,35	110,80	0,000	0,000	0,000	0,000	7,45
1,43	11,95	158,57	0,000	0,000	0,000	0,000	7,41
1,79	14,95	198,38	0,000	0,000	0,000	0,000	7,36
1,87	15,55	206,34	0,000	0,000	0,000	0,000	7,30
1,99	16,55	219,61	0,000	0,000	0,000	0,000	7,23
2,11	17,57	233,10	0,000	0,000	0,000	0,000	7,27
2,23	18,58	246,59	0,000	0,000	0,000	0,000	7,03
2,40	20,00	265,39	0,000	0,000	0,000	0,000	7,11
2,52	21,00	278,66	0,000	0,000	0,000	0,000	6,83
2,58	21,46	284,74	0,040	0,054	0,066	0,096	6,71
2,64	21,96	291,38	0,035	0,058	0,058	0,102	6,65
2,70	22,50	298,57	0,067	0,090	0,111	0,158	6,53
2,76	23,00	305,20	0,093	0,115	0,155	0,203	6,50
2,88	23,96	317,92	0,102	0,138	0,169	0,245	6,40
2,94	24,46	324,55	0,123	0,179	0,204	0,317	6,43
3,00	24,99	331,63	0,116	0,175	0,193	0,309	6,40
3,06	25,49	338,27	0,144	0,200	0,239	0,355	6,40
3,12	25,99	344,90	0,149	0,229	0,248	0,405	6,43

Nastavak tablice 2.3

3,19	26,55	352,31	0,169	0,257	0,281	0,454	6,49
3,25	27,05	358,94	0,187	0,283	0,311	0,501	6,42
3,31	27,55	365,58	0,209	0,299	0,347	0,530	6,37
3,37	28,06	372,32	0,199	0,289	0,330	0,511	6,37
3,69	30,77	408,26	0,245	0,393	0,407	0,695	6,31
3,75	31,23	414,34	0,264	0,417	0,439	0,737	6,35
3,81	31,73	420,98	0,278	0,432	0,462	0,765	6,37
3,88	32,29	428,50	0,286	0,451	0,474	0,798	6,40
3,94	32,80	435,24	0,266	0,409	0,442	0,723	6,54
3,99	33,26	441,33	0,318	0,464	0,529	0,821	6,42
4,05	33,76	447,96	0,338	0,479	0,561	0,847	6,40
4,11	34,26	454,60	0,330	0,475	0,548	0,841	6,40
4,17	34,76	461,23	0,341	0,482	0,567	0,852	6,42
4,23	35,26	467,87	0,372	0,486	0,618	0,860	6,46
4,30	35,80	475,05	0,376	0,503	0,625	0,890	6,45
4,50	37,47	497,17	0,348	0,511	0,577	0,904	6,46
4,55	37,93	503,25	0,352	0,521	0,585	0,922	6,41
4,67	38,93	516,52	0,385	0,505	0,639	0,894	6,34
4,73	39,38	522,60	0,395	0,517	0,656	0,914	6,42
4,90	40,80	541,60	0,425	0,516	0,705	0,914	6,42
4,96	41,30	548,04	0,425	0,514	0,707	0,910	6,42
5,20	43,32	574,80	0,450	0,517	0,747	0,916	6,43
5,26	43,83	581,54	0,464	0,519	0,770	0,918	6,39
5,36	44,70	593,15	0,419	0,538	0,697	0,952	6,40
5,41	45,12	598,68	0,449	0,535	0,746	0,947	6,43
5,52	45,99	610,29	0,460	0,528	0,765	0,934	6,38

Tablica 2.4. Eksperimentalni rezultati za radni ciklus pri protoku $Q = 3$ mL/min

V , L	t , h	BV, -	$c(\text{Cd})$, mmol/L	$c(\text{Zn})$, mmol/L	$\frac{c(\text{Cd})}{c_o(\text{Cd})}$	$\frac{c(\text{Zn})}{c_o(\text{Zn})}$	pH
0,00	0,00	0,00	0,000	0,000	0,000	0,000	5,89
0,63	3,47	69,11	0,000	0,000	0,000	0,000	7,05
1,54	8,53	169,74	0,000	0,000	0,000	0,000	7,03
1,65	9,14	181,90	0,000	0,000	0,000	0,000	6,95
1,78	9,86	196,28	0,000	0,000	0,000	0,000	6,98
1,90	10,53	209,55	0,000	0,000	0,000	0,000	6,81
2,08	11,53	229,45	0,000	0,000	0,000	0,000	6,94
2,14	11,86	236,09	0,043	0,034	0,079	0,065	6,90
2,25	12,50	248,81	0,073	0,049	0,135	0,095	6,77
2,37	13,17	262,08	0,081	0,063	0,149	0,121	6,78
2,43	13,50	268,71	0,067	0,073	0,123	0,140	6,79
2,57	14,28	284,19	0,030	0,031	0,054	0,059	6,79
2,63	14,58	290,27	0,050	0,057	0,092	0,109	6,74
2,69	14,94	297,46	0,056	0,078	0,102	0,151	6,79
2,76	15,31	304,65	0,077	0,109	0,141	0,210	6,72
2,89	16,03	319,02	0,118	0,172	0,216	0,332	6,71
2,95	16,39	326,21	0,136	0,204	0,250	0,393	6,48
3,09	17,14	341,14	0,156	0,243	0,287	0,469	6,62
3,16	17,56	349,43	0,194	0,275	0,356	0,531	6,62
3,23	17,92	356,62	0,201	0,294	0,370	0,567	6,59
3,31	18,36	365,47	0,229	0,316	0,421	0,611	6,57
3,37	18,72	372,66	0,247	0,332	0,454	0,641	6,57
3,44	19,11	380,40	0,253	0,352	0,466	0,680	6,62
3,53	19,61	390,35	0,292	0,368	0,537	0,710	6,60
3,65	20,25	403,07	0,283	0,383	0,519	0,739	6,77
3,88	21,53	428,50	0,281	0,404	0,517	0,780	6,64
4,09	22,72	452,27	0,323	0,445	0,594	0,859	6,61
4,24	23,53	468,31	0,366	0,462	0,672	0,892	6,63
4,43	24,61	489,87	0,378	0,481	0,694	0,929	6,63

Nastavak tablice 2.4

4,55	25,28	503,14	0,394	0,480	0,725	0,927	6,58
4,73	26,25	522,49	0,411	0,494	0,755	0,953	6,20
4,84	26,89	535,21	0,415	0,492	0,763	0,949	6,20
5,02	27,89	555,11	0,436	0,497	0,801	0,959	6,55
5,14	28,56	568,38	0,410	0,471	0,753	0,908	6,48
5,27	29,25	582,21	0,448	0,500	0,823	0,966	6,31
5,51	30,58	608,74	0,445	0,510	0,819	0,984	6,36
5,69	31,58	628,65	0,416	0,526	0,764	1,016	6,58
5,98	33,19	660,72	0,455	0,511	0,836	0,836	7,01

Tablica 2.5. Eksperimentalni rezultati za radni ciklus pri protoku $Q = 4 \text{ mL/min}$

V , L	t , h	BV, -	$c(\text{Cd})$, mmol/L	$c(\text{Zn})$, mmol/L	$\frac{c(\text{Cd})}{c_o(\text{Cd})}$	$\frac{c(\text{Zn})}{c_o(\text{Zn})}$	pH
0,00	0,00	0,00	0,000	0,000	0,000	0,000	6,01
0,44	1,81	48,10	0,000	0,000	0,000	0,000	6,26
0,73	3,02	80,17	0,000	0,000	0,000	0,000	6,29
1,04	4,31	114,45	0,000	0,000	0,000	0,000	6,30
1,40	5,81	154,26	0,000	0,000	0,000	0,000	6,37
1,60	6,67	176,93	0,000	0,000	0,000	0,000	6,27
1,77	7,38	195,73	0,000	0,000	0,000	0,000	6,28
1,95	8,10	215,08	0,000	0,000	0,000	0,000	6,34
2,08	8,67	230,01	0,031	0,024	0,057	0,046	6,27
2,26	9,40	249,36	0,039	0,031	0,072	0,059	6,10
2,41	10,02	265,95	0,046	0,040	0,084	0,077	5,95
2,50	10,42	276,45	0,053	0,059	0,098	0,113	5,87
2,58	10,75	285,30	0,068	0,080	0,124	0,152	5,81
2,68	11,17	296,36	0,079	0,102	0,144	0,194	5,85
2,78	11,58	307,41	0,101	0,125	0,185	0,238	5,82
2,88	11,98	317,92	0,128	0,151	0,234	0,288	5,82
2,94	12,23	324,55	0,139	0,184	0,254	0,352	5,85

Nastavak tablice 2.5

3,21	13,38	354,96	0,158	0,227	0,289	0,433	5,87
3,34	13,90	368,79	0,202	0,281	0,370	0,537	5,89
3,42	14,25	378,18	0,223	0,318	0,408	0,608	5,86
3,51	14,60	387,58	0,254	0,339	0,467	0,646	5,87
3,62	15,06	399,75	0,256	0,326	0,470	0,622	5,90
3,72	15,48	410,81	0,300	0,383	0,550	0,732	5,87
3,82	15,90	421,86	0,306	0,403	0,561	0,769	5,91
3,92	16,31	432,92	0,336	0,415	0,617	0,730	5,93
4,02	16,75	444,53	0,325	0,403	0,596	0,769	5,89
4,11	17,13	454,49	0,354	0,437	0,649	0,833	5,94
4,20	17,48	463,88	0,377	0,453	0,691	0,865	5,90
4,29	17,88	474,39	0,373	0,457	0,684	0,872	5,91
4,38	18,23	483,79	0,402	0,468	0,738	0,894	5,92
4,46	18,58	493,19	0,349	0,466	0,641	0,890	5,97
4,67	19,44	515,86	0,400	0,485	0,734	0,926	5,94
4,85	20,21	536,31	0,375	0,449	0,689	0,856	5,97
4,95	20,60	546,82	0,380	0,444	0,698	0,848	5,95
5,05	21,04	558,43	0,428	0,490	0,785	0,935	5,96
5,13	21,38	567,28	0,440	0,498	0,807	0,951	5,96
5,30	22,08	586,08	0,452	0,503	0,829	0,960	6,03
5,40	22,48	596,58	0,467	0,500	0,857	0,954	6,03
5,59	23,29	618,14	0,461	0,509	0,847	0,972	5,99
5,69	23,71	629,20	0,478	0,509	0,877	0,972	5,98

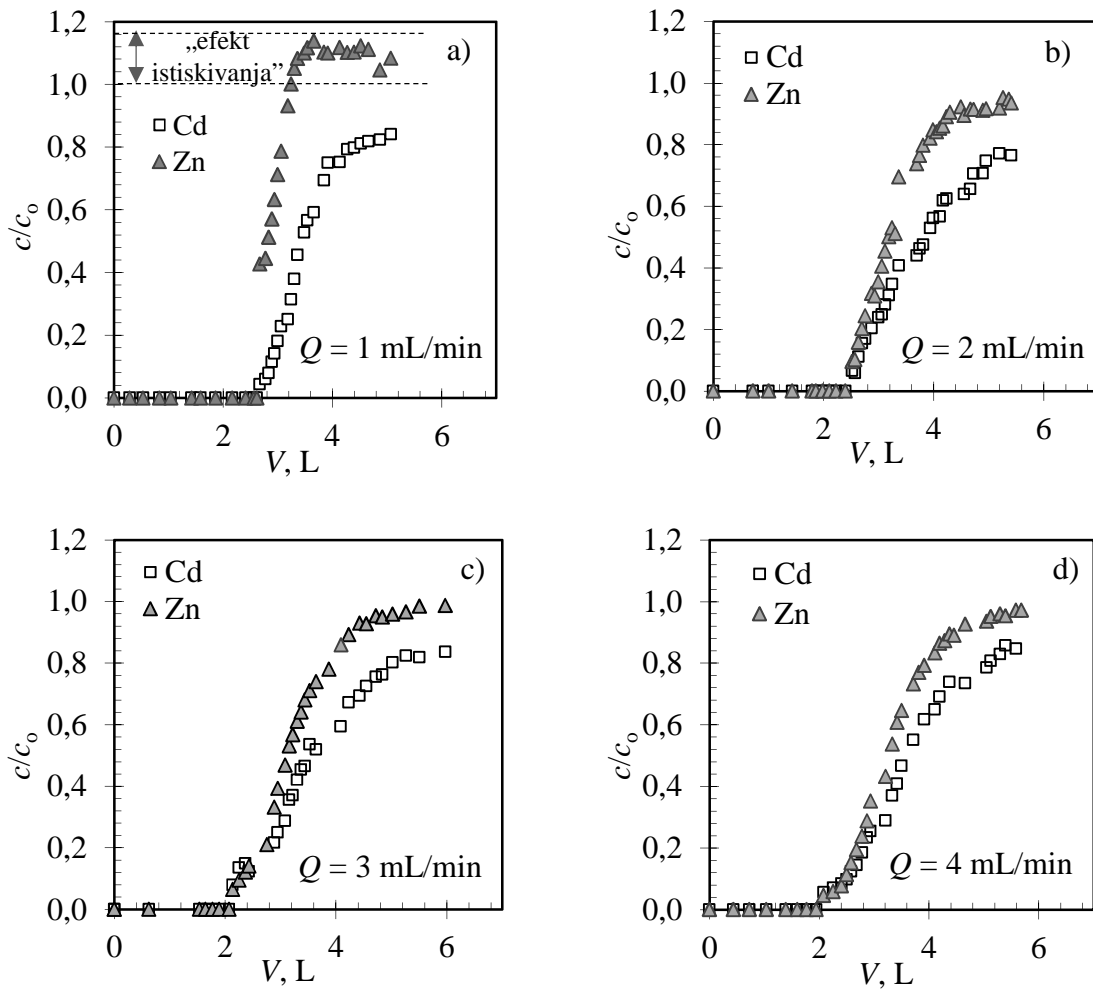
3. RASPRAVA

Vezanje Cd i Zn iona iz ekvimolarne binarne vodene otopine ukupne početne koncentracije $c_0(\text{Cd}+\text{Zn}) \approx 1 \text{ mmol/L}$, a omjera početnih koncentracija kadmija i cinka Cd/Zn $\approx 1,00$ provodilo se u staklenoj koloni napunjenoj nepomičnim slojem prirodnog zeolita visine $H = 8 \text{ cm}$ pri protocima otopine od $Q = 1, 2, 3$ i 4 mL/min .

3.1. ANALIZA REZULTATA VEZANJA KADMIJA I CINKA IZ BINARNE OTOPINE NA PRIRODΝOM ZEOLITU U KOLONI

Tijek provedenih radnih ciklusa vezanja kadmijevih i cinkovih iona iz ekvimolarne binarne otopine na prirodnom zeolitu pratio se određivanjem koncentracije Cd i Zn iona te pH vrijednosti u efluentu. Eksperimentalni rezultati za sva četiri radna ciklusa prikazani su u tablicama 2.2 - 2.5 u poglavljju Eksperimentalni dio i rezultati te na slikama 3.1 i 3.2 kao ovisnost omjera koncentracije Cd i Zn iona u efluentu i influentu te pH vrijednosti o volumenu binarne otopine koja je prošla kroz sloj u koloni. Iz slike 3.1 te iz tablice 3.1 gdje se nalaze parametri očitani iz dobivenih krivulja proba može se uočiti da se porastom protoka točka proba pojavljuje ranije te je obrađen približno isti volumen otopine u znatno kraćem vremenu. Do točke proba ioni Cd i Zn vežu se u strukturu zeolita istovremeno, za sve ispitane protoke otopine. Nakon točke proba, koncentracija oba iona u efluentu naglo raste, a za Zn pri protoku od 1 mL/min (slika 3.1 a) čak prelazi njegovu koncentraciju u influentu te je $c/c_0 = 1,139$. Pri protocima od $2, 3$ i 4 mL/min , koncentracija Zn u efluentu je i dalje veća od koncentracije Cd, međutim $c/c_0 < 1,0$. Za sva četiri ispitana protoka koncentracija Cd u efluentu je manja od koncentracije cinka. Također koncentracija kadmijevih iona u efluentu ne prelazi koncentraciju u influentu.

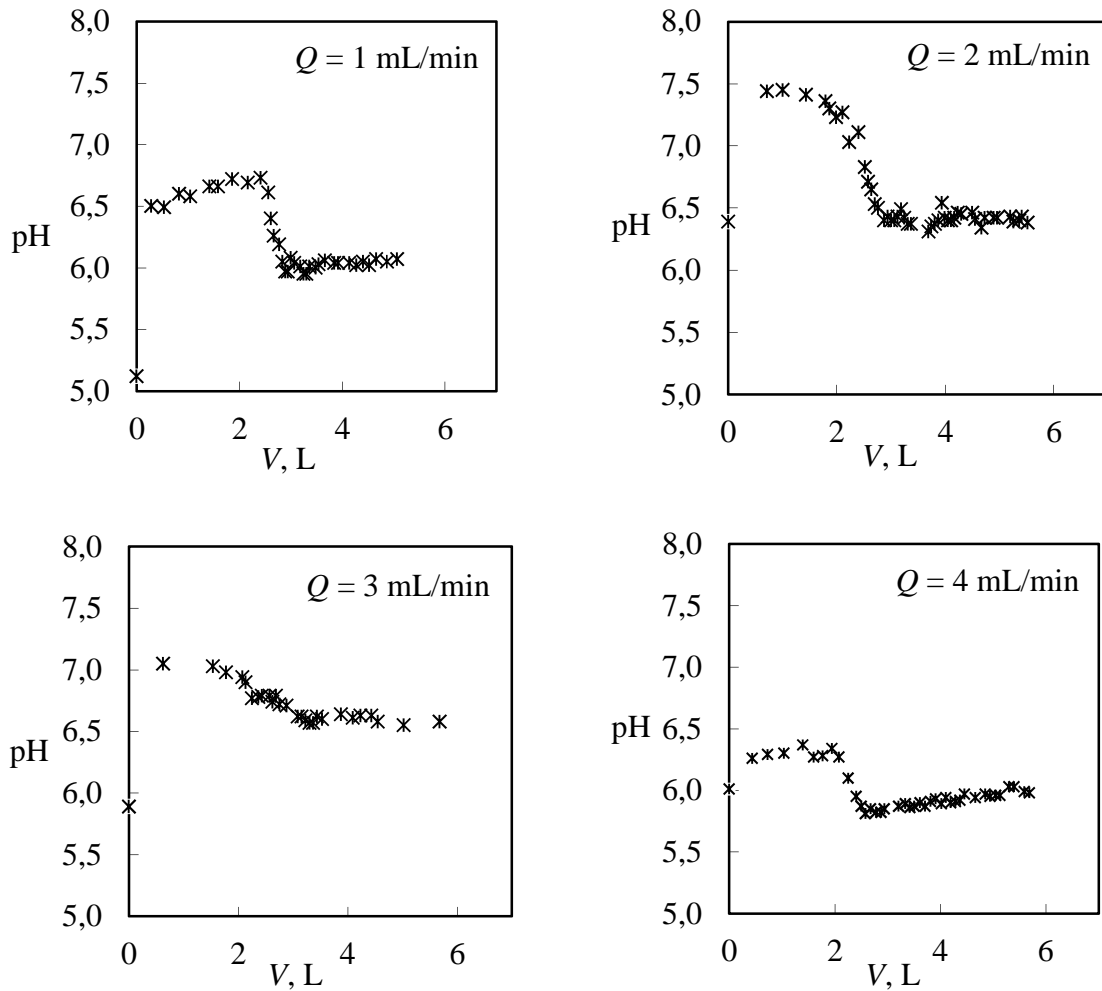
Koncentracija cinka u efluentu veća od one u influentu pri $Q = 1 \text{ mL/min}$ može se protumačiti efektom istiskivanja već vezanih iona cinka iz strukture zeolita ionima kadmija iz otopine, što može biti posljedica veće selektivnosti zeolita klinoptilolita prema Cd i većeg afiniteta Cd prema zeolitu. To nije bilo očekivano budući da Cd i Zn ioni imaju vrlo slična fizikalno-kemijska svojstva kao što su hidratizirani ionski radijus, elektronegativnost i energija hidratacije²⁷. Kompeticija iona za ista aktivna mjesta uočena je i u drugim sustavima s različitom selektivnošću ionskog izmjenjivača prema izmjenjivim ionima, a čini obradu višekomponentnih otopina daleko složenijom^{3,28,29}.



Slika 3.1. Krivulje probaja za Cd i Zn ione pri različitim protocima početne otopine izražene kao c/c_0 vs. V . Napomena: $c/c_0 = c(\text{Cd})/c_0(\text{Cd})$ i $c(\text{Zn})/c_0(\text{Zn})$

Efekt istiskivanja i zamjena cinka kadmijem pri $Q = 1 \text{ mL/min}$ najvjerojatnije se javlja između točke probaja i točke iscrpljenja i to zbog najmanjeg otpora prijenosu tvari. Naime, pri višim protocima, zbog bržeg prolaska otopine kroz sloj zeolita, efekt zamjene Zn iona Cd ionima je manje izražen jer je uslijed kraćeg vremena kontakta slabija difuzija Cd i Zn iona iz otopine u česticu zeolita.

Iz krivulja probaja na slici 3.2 izraženima kao ovisnost pH vrijednosti u efluentima o volumenu binarne otopine protekle kroz sloj moguće je jednostavno i brzo procijeniti pojavu točke probaja, što je od izuzetne važnosti u praktičnoj primjeni postupka u koloni. Naime, pri pojavi prvih Cd i Zn iona u efluentu dolazi do reakcija hidrolize što uslijed oslobađanja H_3O^+ dovodi do naglog pada pH vrijednosti^{3,29}.



Slika 3.2. Krivulje probaja izražene kao pH u efluentu radnih ciklusa vs. V pri različitim protocima početne otopine

U tablici 3.1 prikazani su kapaciteti uklanjanja u točki probaja, q_B , i u točki iscrpljenja, q_E , izračunati iz krivulja probaja na slici 3.1 prema jednadžbama (1-4) i (1-5) iz Općeg dijela. Može se uočiti da je kapacitet uklanjanja za Cd, $q_B(\text{Cd})$, veći od kapaciteta uklanjanja za cink, $q_B(\text{Zn})$, za sve ispitane protoke. Također, razlika između njih smanjuje se porastom protoka zbog smanjenog efekta istiskivanja uslijed kraćeg vremena kontakta između otopine i zeolita. Omjeri kapaciteta u točki probaja $q_B(\text{Cd})/q_B(\text{Zn})$ potpuno se preklapaju s koncentracijskim omjerima $c_o(\text{Cd})/c_o(\text{Zn})$ u ulaznoj binarnoj otopini što ukazuje na istovremeno vezanje Cd i Zn iona do točke probaja, proporcionalno njihovoj koncentraciji u influentu.

Tablica 3.1. Parametri radnih ciklusa za pojedinačne ione u binarnoj otopini izračunati iz krivulja probaja

Q mL/min	t_B h	V_B L	t_E h	V_E L		q_B mmol/g	q_E mmol/g	$\frac{q_B(\text{Cd})}{q_B(\text{Zn})}$	$\frac{q_E(\text{Cd})}{q_E(\text{Zn})}$	η^{26} -
1	44,50	2,67	68,92	4,14	Cd	0,226	0,301	1,08	1,39	0,84
					Zn	0,209	0,217			
2	21,46	2,58	40,80	4,90	Cd	0,226	0,364	1,07	1,24	0,67
					Zn	0,212	0,293			
3	11,86	2,14	26,25	4,73	Cd	0,168	0,308	1,05	1,19	0,58
					Zn	0,160	0,258			
4	8,67	2,08	19,44	4,67	Cd	0,172	0,320	1,04	1,15	0,56
					Zn	0,165	0,279			

Veće vrijednosti omjera kapaciteta u točki iscrpljenja $q_E(\text{Cd})/q_E(\text{Zn})$ u odnosu na vrijednosti $q_B(\text{Cd})/q_B(\text{Zn})$ potvrđuju veću selektivnost zeolita prema Cd ionima što se u konačnici očituje zamjenom već vezanih cinkovih iona kadmijevim ionima iz influenta, za sva četiri ispitana protoka. Smanjenje omjera $q_E(\text{Cd})/q_E(\text{Zn})$ porastom protoka ukazuje na smanjenje kompeticije između kadmija i cinka uslijed kraćeg vremena kontakta, a što potvrđuju i vrijednosti pojedinačnih kapaciteta za Cd i Zn, koje postaju bliskije. Efikasnost kolone η izračunata pomoću jednadžbe (1-6) iz Opéeg dijela smanjuje se porastom protoka, također kao posljedica kraćeg vremena kontakta otopina - zeolit.

4. ZAKLJUČAK

Na temelju provedenih eksperimenata vezanja Cd i Zn iona iz ekvimolarne binarne vodene otopine na nepomičnom sloju zeolita visine 8 cm, uz protoke od 1, 2, 3 i 4 mL/min, može se zaključiti:

1. Prirodni zeolit iz nalazišta Zlatokop u Vranjskij Banji, Srbija, s udjelom klinoptiolita do $\approx 80\%$, pokazao je dobra svojstva vezanja Cd i Zn iona iz ekvimolarne binarne vodene otopine ukupne početne koncentracije $c_0(\text{Cd}+\text{Zn}) \approx 1 \text{ mmol/L}$ pri protocima od $Q = 1, 2, 3$ i 4 mL/min .
2. Porastom protoka točka probaja pojavljuje se ranije te je obrađen približno isti volumen otopine za znatno kraće vrijeme.
3. Do točke probaja ioni Cd i Zn vežu se istovremeno, za sve ispitane protoke otopine. Nakon točke probaja, koncentracija oba iona u efluentu naglo raste i koncentracija Cd u efluentu je manja od koncentracije Zn.
4. Koncentracija Cd u efluentu ne prelazi vrijednost koncentracije u influentu, dok Zn premašuje svoju početnu koncentraciju, i to samo pri najmanjem protoku od $Q = 1 \text{ mL/min}$. Razlog tome je istiskivanje i zamjena već vezanih iona Zn iz strukture zeolita ionima Cd iz otopine, što može biti posljedica veće selektivnosti zeolita klinoptilolita prema Cd i većeg afiniteta Cd prema zeolitu.
5. Pri višim protocima zbog bržeg prolaska otopine kroz sloj efekt istiskivanja je manje izražen jer je uslijed kraćeg vremena kontakta slabija difuzija Cd i Zn iz otopine u česticu zeolita.
6. Kapacitet uklanjanja u točki probaja za Cd, $q_B(\text{Cd})$, je veći od kapaciteta uklanjanja za cink, $q_B(\text{Zn})$, za sve ispitane protoke, a razlika između njih smanjuje se porastom protoka zbog smanjenog efekta istiskivanja uslijed kraćeg vremena kontakta.
7. Omjeri kapaciteta u točki probaja za Cd i Zn, $q_B(\text{Pb})/q_B(\text{Zn})$ jednaki su Cd/Zn omjeru u influentu, što potvrđuje istovremeno vezanje Cd i Zn iona do točke probaja, proporcionalno njihovoj koncentraciji u ulaznoj otopini. Omjeri u točki

iscrpljenja $q_E(\text{Cd})/q_E(\text{Zn})$ veći su od Cd/Zn omjera u influentu što potvrđuje efekt istiskivanja.

8. Zbog smanjenog vremena kontakta porastom protoka smanjuje se efikasnost kolone η .
9. Monitoring pH vrijednosti u efluentu omogućuje brzo i jednostavno određivanje pojave točke probaja, što je od izuzetne važnosti za primjenu postupka u koloni u praksi.
10. Dobiveni rezultati uklanjanja Cd i Zn iz ekvimolarne binarne vodene otopine pokazali su veći afinitet Cd prema zeolitu u odnosu na Zn, kao i veću selektivnost zeolita prema Cd, a time i bolje vezanje Cd pri svim ispitanim protocima. Ovo nije bilo očekivano budući da Cd i Zn ioni imaju vrlo slična fizikalno-kemijska svojstva te su ovi rezultati vrlo značajni za predviđanje ponašanja zeolita i njegovu praktičnu uporabu u procesima obrade otpadnih voda.

5. LITERATURA

1. URL: <https://www.ekologija.com.hr/zagadenje-okoli/sa> (4. 9. 2018.)
2. Pravilnik o graničnim vrijednostima emisija otpadnih voda, N. N. 80/13, 27/15 i 3/16.
3. Nuić I., *Istraživanje procesa u koloni s nepomičnim slojem u sustavu prirodni zeolit-vodena otopina olovova i cinkova nitrata*, Doktorski rad, Sveučilište u Splitu, Kemijsko-tehnološki fakultet, 2013.
4. Andlar K., *Metode uklanjanja teških metala iz otpadnih voda*, Diplomski rad, Sveučilište u Zagrebu, Fakultet kemijskog inženjerstva i tehnologije, 2016.
5. URL: <http://www.alge.com.hr/procitajte-vise/> (4. 9. 2018.)
6. Špilko I., Jukić M., *Kemijske tvari i trovanja, Teški metali*, Seminarski rad, 2008.
7. Ugrina M., *Kemijska modifikacija prirodnog zeolita klinoptilolita - analiza ravnoteže i kinetike vezivanja kadmija i cinka iz vodenih otopina*, Doktorski rad, Sveučilište u Splitu, Kemijsko-tehnološki fakultet, 2014.
8. Đozić A., Hodžić I., *Prisustvo teških metala u površinskim i industrijskim otpadnim vodama na području općine Lukavac*, 2016.
9. Veljković N., Vidojević D., Jovićić M., *Uticaji zagađujućih materijala iz urbanih otpadnih voda na životnu sredinu i zdravlje*, Zbornik referata međunarodne konferencije "Otpadne vode, komunalni čvrsti otpad i opasan otpad", Udruženje za tehnologiju vode i sanitarno inženjerstvo, 2010.
10. EC drinking water directive (1998).
11. WHO (2000) and Guidelines for drinking water quality Vol. 2 (1996).

12. ATSDR (2000) and Standards for maximum permissible values in sewage sludge/soils. Estimating concern levels for concentration of chemical substances in the environment. Washington DC, 1984.
13. URL: <http://www.pse.pbf.hr/hrvatski/elementi/cd/index.html#OPCENITO>
(6. 9. 2018.)
14. URL: <http://www.pse.pbf.hr/hrvatski/elementi/zn/index.html#OPCENITO>
(6. 9. 2018.)
15. Alloway B. J., *Zinc in soils and crop nutrition*, Second edition, published by IZA and IFA Brussels, Belgium and Paris, France, 2008.
16. Ojedokun, A. T., Bello. O. S., *Sequestering heavy metals from wastewater using cow dung*, Water Resources and Industry, **13** (2016) 7-13.
17. Filković M., *Primjena ionskih izmjenjivača u procesima obrade voda*, Završni rad, Sveučilište Josipa Jurja Strossmayera u Osijeku, Prehrambeno-tehnološki fakultet, 2016.
18. Miletić M., *Analiza uzastopnog vezanja cinka i regeneracija zeolita postupkom u koloni*, Diplomski rad, Sveučilište u Splitu, Kemijsko-tehnološki fakultet, 2015.
19. Moshoeshoe M., Nadiye-Tabbiruka M. S., Obuseng V., *A Review of the Chemistry, Structure, Properties and Applications of Zeolites*, American Journal of Materials Science, 2017.
20. de'Gennaro, M., Cappelletti, P., Langella, A., Perrotta, A., Scarpati, C. *Genesis of zeolites in the Neapolitan Yellow Tuff: geological, volcanological and mineralogical evidence*, Contributions to Mineralogy and Petrology, **139** (2000) 17-35.

21. Coombs, D. S., Alberti, A., Armbruster, T., Artioli, G., Colella, C., Galli, E., Grice, J. D., Liebau, F., Mandarino, J. A., Minato, H., Nickel, E. H., Passaglia, E., Peacor, D. R., Quartieri, S., Rinaldi, R., Ross, M., Sheppard R. A., Tillmanns, E., Vezzalini, G., *Recommended Nomenclature for Zeolite Minerals: Report of The Subcommittee on Zeolites of the International Mineralogical Association, Commission on New Minerals and Mineral Names*. The Canadian Mineralogist, **35** (1997) 1571-1606.
22. Weckhuysen, B. M., Yu, J., *Recent advances in zeolite chemistry and catalysis*. Chemical Society Reviews, **44** (2015) 7022-7024.
23. Armbruster, T., Gunter, M. E., *Crystal structure of natural zeolites*. In Bish, D. L. Ming, D. W. (Eds). *Natural Zeolites: occurrence, properties, applications*. Mineralogical Society of America, Geochemical Society, **45** (2001) 1-68.
24. Farkaš. A., Rožić M., Barbarić-Mikočević. Ž., *Ammonium exchange in leakage waters of waste dumps using natural zeolite from the Krapina region, Croatia*, Journal of Hazardous Materials, **B 117** (1) (2005) 25-33.
25. Volesky, B. *Detoxification of metal-bearing effluents: biosorption for the next century*, Hydrometallurgy, **59** (2001) 203-216.
26. Sabljo K., *Ispitivanje mehanizma prijenosa tvari i utjecaja aksijalne disperzije na vezanje Cd(II) i Zn(II) iz binarne vodene otopine na nepomičnom sloju prirodnog zeolita*, Diplomski rad, Sveučilište u Splitu, Kemijsko-tehnološki fakultet, 2017.
27. Minčeva M., Fajgar R., Markovska L., Meshko, V., *Comparative study of Zn²⁺, Cd²⁺, and Pb²⁺ removal from water solution using natural clinoptilolitic zeolite and commercial granulated activated carbon*. Equilibrium of Adsorption, Separation Science and Technology, **43** (2008) 2117-2143.

28. Han, R., Zou, W., Li, H., Li, Y., Shi, J., *Copper(II) and lead(II) removal from aqueous solution in fixed-bed columns by manganese oxide coated zeolite*, Journal of Hazardous Materials, **137** (2006) 934-942.
29. Benefield, L. D., Judkins, J. F., Weand, B. L., *Process chemistry for water and wastewater treatment*, Prentice-Hall Inc., 1982, 191-210, 307-364, 368-404.